

# The Optical Gravitational Lensing Experiment. Catalog of Star Clusters from the Large Magellanic Cloud\*

G. P i e t r z y ń s k i<sup>1</sup>, A. U d a l s k i<sup>1</sup>, M. K u b i a k<sup>1</sup>,  
M. S z y m a ń s k i<sup>1</sup>, P. W o ń n i a k<sup>2</sup>, and K. Ż e b r u ń<sup>1</sup>

<sup>1</sup>Warsaw University Observatory, Al. Ujazdowskie 4, 00-478 Warszawa,  
Poland

e-mail: (pietrzyn,udalski,mk,msz,zebrun)@astrouw.edu.pl

<sup>2</sup> Princeton University Observatory, Princeton, NJ 08544-1001, USA  
e-mail: wozniak@astro.princeton.edu

## ABSTRACT

We present the catalog of star clusters found in the area of about 5.8 square degree in the central regions of the Large Magellanic Cloud. It contains data for 745 clusters. 126 of them are new objects. For each cluster equatorial coordinates, radius, approximate number of members and cross-identification are provided. Photometric data for all clusters presented in the catalog and Atlas consisting of finding charts and color-magnitude diagrams are available electronically from the OGLE Internet archive.

## 1 Introduction

The Optical Gravitational Lensing Experiment (OGLE) is a long term observing project with the main goal to provide information on dark unseen matter using microlensing events (Paczynski 1986). Detailed description of the project can be found in Udalski, Kubiak and Szymański (1997).

The main observing targets of the second phase of the survey, OGLE-II, include large parts of the central bars of the SMC and LMC. Photometry collected in the standard *BVI* bands for millions of stars located in dense and poorly observed so far central regions of these galaxies provides an ideal material for many side projects.

One of the sub-projects of the OGLE-II survey aims at searching for and analyzing properties of star clusters in the Magellanic Clouds. In Pietrzyński

---

\*Based on observations obtained with the 1.3 m Warsaw telescope at the Las Campanas Observatory operated by the Carnegie Institution of Washington.

*et al.* (1998, hereafter Paper I) the catalog of 273 clusters from the central parts of the SMC was published. In this paper we present the catalog of clusters from the observed regions in the LMC.

OGLE catalogs of star clusters enable many further detailed studies of properties of star clusters in the Magellanic Clouds. Results concerning the system of star clusters in the SMC were already published. Ages of 93 objects from the catalog of clusters from the SMC were derived using standard procedure of isochrone fitting by Pietrzyński and Udalski (1999a). The multiple cluster candidates were selected and listed in Pietrzyński and Udalski (1999b). Similar data for clusters from the LMC will be published in the forthcoming papers.

Large number observations collected in the course of the OGLE-II survey provides also an unique opportunity to explore populations of variable stars in star clusters. In the first paper of the series on variable stars located in the regions of star clusters 127 eclipsing systems in optical coincidence with star clusters in the SMC were presented by Pietrzyński and Udalski (1999c). The lists of Cepheids located in the close neighborhood of the Magellanic Cloud clusters were published by Pietrzyński and Udalski (1999d). Further papers containing lists as well as more detailed studies of variable stars from clusters of the Magellanic Clouds observed by the OGLE collaboration will follow.

Bearing in mind the potential usefulness of the photometric data of presented star clusters we have decided to make them publicly available. They are accessible from the OGLE Internet archive.

## 2 Previous Searches

Many efforts have been done for searching for star clusters in the LMC since Shapley and Mohr (1932) identified clusters in this galaxy for the first time. The large atlas of clusters covering most of the LMC was published by Hodge and Wright (1967). This catalog contains 1146 objects discovered until 1967, by Lynga and Westerlund (1963), Shapley and Lindsay (1963) and Hodge and Sexton (1966). Lamberts (1982) cataloged objects based on the ESO survey. This atlas provided coordinates for many star clusters, however majority of them were already known. Olszewski *et al.* (1988) found additional 156 clusters outside the area covered by the Hodge and Wright catalog. Hodge (1980, 1988) performed deep search for clusters in the LMC using 4-m telescope plates. He reported 387 new clusters in 15 small regions.

Kontizas *et al.* (1990) constructed a new catalog of clusters based on the ESO/SERC Southern Sky Atlas. They presented 1762 clusters in the large  $25 \times 25$  degree area centered on the LMC but excluding the crowded regions around the bar. About 600 of them were new objects.

All this searches were made visually. The first automatic search for clusters in the LMC was performed by Bhatia and MacGillivray (1989). This project resulted in detection of 284 objects in a 6 square degree field, which quadrupled the number of previously known clusters in this region. Zaritsky, Harris and Thompson (1997) presented *UBVI* CCD photometry of stars from  $2 \times 1.5$  degree field located northwest of the LMC bar. Based on this data they found 68 clusters (about 45% more than previously detected). Recently Bica *et al.* (1999) published a comprehensive catalog of extended objects from the LMC.

As can be seen from this short review many potential clusters have been discovered in the LMC so far. It should be stressed, however, that some of these detections may turn out to be spurious. For example Kontizas *et al.* (1990) did not confirm 210 objects from the previous catalogs. The automatic techniques appear to be very effective in searching for star clusters in the LMC. Unfortunately they were applied to relatively small regions located outside the crowded area near the central bar.

Although the number of known clusters in the LMC is large, deep and precise photometry exists only for very limited sample of the populous LMC clusters. The aim of this paper is to provide the astronomical community with precise photometry of relatively large sample of clusters from the LMC, selected in the algorithmic way.

### 3 Observations

All observations presented in this paper were collected during the second phase of the OGLE microlensing survey with the 1.3 m Warsaw telescope at the Las Campanas Observatory, Chile, which is operated by the Carnegie Institution of Washington. The telescope was equipped with  $2048 \times 2048$  CCD detector working in driftscan mode. The gain and readout noise were  $3.8 \text{ e}^-/\text{ADU}$  and  $5.4 \text{ e}^-$ , respectively. Details of the system can be found in Udalski, Kubiak and Szymański (1997).

Observations were conducted in 26 slightly overlapping fields with the size of about  $14'.2 \times 57'$  each, which gave the total coverage of about 5.8 square degree. Table 1 lists acronyms of the observed fields with equato-

Table 1  
Equatorial coordinates of the OGLE-II LMC fields

Field	RA (J2000)	DEC (J2000)
LMC_SC1	5 <sup>h</sup> 33 <sup>m</sup> 49 <sup>s</sup>	−70°06′10″
LMC_SC2	5 <sup>h</sup> 31 <sup>m</sup> 17 <sup>s</sup>	−69°51′55″
LMC_SC3	5 <sup>h</sup> 28 <sup>m</sup> 48 <sup>s</sup>	−69°48′05″
LMC_SC4	5 <sup>h</sup> 26 <sup>m</sup> 18 <sup>s</sup>	−69°48′05″
LMC_SC5	5 <sup>h</sup> 23 <sup>m</sup> 48 <sup>s</sup>	−69°41′05″
LMC_SC6	5 <sup>h</sup> 21 <sup>m</sup> 18 <sup>s</sup>	−69°37′10″
LMC_SC7	5 <sup>h</sup> 18 <sup>m</sup> 48 <sup>s</sup>	−69°24′10″
LMC_SC8	5 <sup>h</sup> 16 <sup>m</sup> 18 <sup>s</sup>	−69°19′15″
LMC_SC9	5 <sup>h</sup> 13 <sup>m</sup> 48 <sup>s</sup>	−69°14′05″
LMC_SC10	5 <sup>h</sup> 11 <sup>m</sup> 16 <sup>s</sup>	−69°09′15″
LMC_SC11	5 <sup>h</sup> 08 <sup>m</sup> 41 <sup>s</sup>	−69°10′05″
LMC_SC12	5 <sup>h</sup> 06 <sup>m</sup> 16 <sup>s</sup>	−69°38′20″
LMC_SC13	5 <sup>h</sup> 06 <sup>m</sup> 14 <sup>s</sup>	−68°43′30″
LMC_SC14	5 <sup>h</sup> 03 <sup>m</sup> 49 <sup>s</sup>	−69°04′45″
LMC_SC15	5 <sup>h</sup> 01 <sup>m</sup> 17 <sup>s</sup>	−69°04′45″
LMC_SC16	5 <sup>h</sup> 36 <sup>m</sup> 18 <sup>s</sup>	−70°09′40″
LMC_SC17	5 <sup>h</sup> 38 <sup>m</sup> 48 <sup>s</sup>	−70°16′45″
LMC_SC18	5 <sup>h</sup> 41 <sup>m</sup> 18 <sup>s</sup>	−70°24′50″
LMC_SC19	5 <sup>h</sup> 43 <sup>m</sup> 48 <sup>s</sup>	−70°34′45″
LMC_SC20	5 <sup>h</sup> 46 <sup>m</sup> 18 <sup>s</sup>	−70°44′50″
LMC_SC21	5 <sup>h</sup> 21 <sup>m</sup> 14 <sup>s</sup>	−70°33′20″
LMC_SC22	5 <sup>h</sup> 02 <sup>m</sup> 26 <sup>s</sup>	−67°09′35″
LMC_SC23	5 <sup>h</sup> 04 <sup>m</sup> 45 <sup>s</sup>	−67°09′40″
LMC_SC24	5 <sup>h</sup> 07 <sup>m</sup> 05 <sup>s</sup>	−67°09′35″
LMC_SC25	5 <sup>h</sup> 09 <sup>m</sup> 24 <sup>s</sup>	−67°09′30″
LMC_SC26	5 <sup>h</sup> 11 <sup>m</sup> 43 <sup>s</sup>	−67°09′40″

rial coordinates of their centers. Collected images were reduced with the standard OGLE data pipeline. Accuracy of transformations to the standard system was  $0.01 - 0.02$  mag. For more details about data reduction and transformation procedures the reader is referred to the paper with description of *BVI* photometric maps of the SMC (Udalski *et al.* 1998). Quality of the data collected for the LMC is similar to that from the SMC. *BVI* maps of the LMC will be released in the near future (Udalski *et al.* in preparation).

## 4 Catalog

### 4.1 Search for Clusters

Visual searches are subjective and, especially in crowded stellar background may lead to many spurious detections. The observed area in the LMC is relatively dense and large. In order to obtain the objective list of cluster candidates we performed an automatic, algorithmic search. Similar technique as presented in Zaritsky, Harris and Thompson (1997) was applied. This algorithm was already successfully used by us in searching for clusters in the SMC (Paper I). Detailed description of this algorithm can be found in Paper I. In short, each of 26 driftscans was divided into square boxes and stars were counted inside each of them. Because of the different size of the potential clusters, three sets of such density maps with boxes of  $10 \times 10$ ,  $20 \times 20$  and  $30 \times 30$  pixels ( $4.1 \times 4.1$ ,  $8.2 \times 8.2$ ,  $12.3 \times 12.3$ , arcsec respectively) were constructed. In order to remove background variations from our density maps the "unsharp masking" procedure was used. The suspected clusters were selected as the concentration of at least four pixels above a given threshold from the unsharp masked images. Three different detection thresholds of 4, 3 and  $2\sigma$  of all pixels of the map were used.

Then, all candidates were carefully examined and many of them were rejected due to proximity to bright overexposed stars or the edge of the frame. Our procedure resulted in detection of 745 objects.

The catalog was compared with the list of clusters presented by Bica *et al.* (1999). 619 objects turned out to be common to both these catalogs. Table 2 contains description of acronyms used in our catalog.

### 4.2 Coordinates and Angular Sizes of Clusters

The equatorial coordinates of clusters were obtained in the identical manner as in Paper I. Their accuracy depends on cluster richness and ranges from

Table 2  
LMC catalogs

Acronym	Reference	Entries
H	Hodge 1960	2
SL	Shapley and Lindsay 1963	145
HS	Hodge and Sexton 1966	108
H80	Hodge 1980	2
KMK88	Kontizas <i>et al.</i> 1988	44
H88	Hodge 1988	94
KMHK	Kontizas <i>et al.</i> 1990	74
BRHT	Bhatia <i>et al.</i> 1991	26
BCD	Bica <i>et al.</i> 1992	2
BCDSP	Bica <i>et al.</i> 1996	1
ZHT	Zaritsky <i>et al.</i> 1997	2
BSDL	Bica <i>et al.</i> 1999	221
OGLE	this paper	126

2 arcsec for compact populous clusters to 10 arcsec for loose faint ones.

Angular sizes of clusters were derived based on density profiles obtained from star counts performed in consecutive annuli around their adopted centers. In most cases counts obtained in relatively large distance from the cluster centers allowed to reliably define stellar background and derive precise dimensions. Many profiles show, however, significant fluctuations after the main drop of the stellar density. Such a behavior may be caused by presence of extended halos around clusters or background density fluctuations. As in the case of Paper I we decided to define two different kinds of cluster radii. One accounts for the presence of the above-mentioned fluctuations and represents the radius of entire cluster. The second one is defined as the distance from the cluster center to the main drop of the stellar density and it is useful for defining the boundary between the regions where the cluster or field stars are more frequent.

### 4.3 Content of the Catalog

Table 3 presents the OGLE Catalog of star clusters in the LMC. Information on all 745 clusters detected in this project is given. Column 1 contains the OGLE identification of the cluster, consisting of the prefix OGLE-CL-LMC

Table 3  
LMC star clusters

Name OGLE-CL-	$\alpha$ 2000	$\delta$ 2000	Field	$R$ [ $''$ ]	$R_{\text{core}}$ [ $''$ ]	N	Cross- -identifications
LMC0001	4 <sup>h</sup> 59 <sup>m</sup> 59 <sup>s</sup> .63	−69°30′39 $''$ .2	LMC_SC15	13	11	31	HS81,KMHK415
LMC0002	5 <sup>h</sup> 00 <sup>m</sup> 10 <sup>s</sup> .93	−68°36′54 $''$ .8	LMC_SC15	10	9	14	OGLE
LMC0003	5 <sup>h</sup> 00 <sup>m</sup> 14 <sup>s</sup> .53	−69°09′22 $''$ .3	LMC_SC15	18	14	11	BSDL403
LMC0004	5 <sup>h</sup> 00 <sup>m</sup> 21 <sup>s</sup> .05	−69°06′25 $''$ .0	LMC_SC15	16	13	28	H88-85
LMC0005	5 <sup>h</sup> 00 <sup>m</sup> 26 <sup>s</sup> .85	−68°46′22 $''$ .2	LMC_SC15	16	14	25	HS83,KMHK421
LMC0006	5 <sup>h</sup> 00 <sup>m</sup> 28 <sup>s</sup> .96	−68°38′27 $''$ .5	LMC_SC15	13	12	41	KMHK423
LMC0007	5 <sup>h</sup> 00 <sup>m</sup> 41 <sup>s</sup> .13	−69°20′28 $''$ .9	LMC_SC15	17	14	57	HS87
LMC0008	5 <sup>h</sup> 01 <sup>m</sup> 04 <sup>s</sup> .50	−69°05′03 $''$ .3	LMC_SC15	23	17	103	NGC1804,SL172,ESO56SC46
LMC0009 <sup>(2)</sup>	5 <sup>h</sup> 01 <sup>m</sup> 14 <sup>s</sup> .91	−67°32′20 $''$ .0	LMC_SC22	24	23	49	H88-90,KMHK438
LMC0010	5 <sup>h</sup> 01 <sup>m</sup> 16 <sup>s</sup> .43	−69°12′01 $''$ .3	LMC_SC15	18	17	31	BSDL438
LMC0011	5 <sup>h</sup> 01 <sup>m</sup> 17 <sup>s</sup> .72	−67°18′06 $''$ .7	LMC_SC22	21	20	53	BSDL429
LMC0012	5 <sup>h</sup> 01 <sup>m</sup> 22 <sup>s</sup> .46	−67°17′41 $''$ .2	LMC_SC22	20	18	67	SL173,KMHK440
LMC0013	5 <sup>h</sup> 01 <sup>m</sup> 23 <sup>s</sup> .79	−68°52′22 $''$ .5	LMC_SC15	20	18	52	H88-96
LMC0014	5 <sup>h</sup> 01 <sup>m</sup> 26 <sup>s</sup> .82	−67°17′42 $''$ .6	LMC_SC22	12	12	13	OGLE
LMC0015	5 <sup>h</sup> 01 <sup>m</sup> 29 <sup>s</sup> .20	−68°42′43 $''$ .8	LMC_SC15	26	17	69	SL176,KMHK448
LMC0016	5 <sup>h</sup> 01 <sup>m</sup> 29 <sup>s</sup> .29	−67°20′59 $''$ .2	LMC_SC22	10	9	11	H88-92,KMHK443
LMC0017	5 <sup>h</sup> 01 <sup>m</sup> 31 <sup>s</sup> .83	−69°32′05 $''$ .5	LMC_SC15	20	18	17	BSDL447
LMC0018 <sup>(2)</sup>	5 <sup>h</sup> 01 <sup>m</sup> 36 <sup>s</sup> .95	−69°02′17 $''$ .6	LMC_SC15	30	24	176	SL180
LMC0019	5 <sup>h</sup> 01 <sup>m</sup> 39 <sup>s</sup> .07	−67°10′30 $''$ .1	LMC_SC22	14	12	14	BSDL441
LMC0020	5 <sup>h</sup> 01 <sup>m</sup> 45 <sup>s</sup> .39	−67°34′00 $''$ .7	LMC_SC22	8	7	24	KMHK451
LMC0021	5 <sup>h</sup> 01 <sup>m</sup> 45 <sup>s</sup> .47	−67°05′43 $''$ .9	LMC_SC22	18	18	62	SL179,KMHK449
LMC0022	5 <sup>h</sup> 01 <sup>m</sup> 46 <sup>s</sup> .27	−69°23′56 $''$ .6	LMC_SC15	8	7	18	OGLE
LMC0023	5 <sup>h</sup> 01 <sup>m</sup> 48 <sup>s</sup> .47	−67°28′24 $''$ .5	LMC_SC22	24	20	31	H88-97,KMHK452
LMC0024	5 <sup>h</sup> 01 <sup>m</sup> 50 <sup>s</sup> .16	−66°51′54 $''$ .5	LMC_SC22	21	20	26	BSDL445
LMC0025	5 <sup>h</sup> 01 <sup>m</sup> 51 <sup>s</sup> .69	−69°12′51 $''$ .5	LMC_SC15	32	31	159	SL181
LMC0026	5 <sup>h</sup> 01 <sup>m</sup> 51 <sup>s</sup> .82	−67°35′17 $''$ .3	LMC_SC22	20	16	31	OGLE
LMC0027	5 <sup>h</sup> 01 <sup>m</sup> 55 <sup>s</sup> .84	−67°31′54 $''$ .8	LMC_SC22	8	8	12	BSDL448
LMC0028	5 <sup>h</sup> 02 <sup>m</sup> 00 <sup>s</sup> .52	−67°22′07 $''$ .1	LMC_SC22	47	41	32	OGLE
LMC0029	5 <sup>h</sup> 02 <sup>m</sup> 06 <sup>s</sup> .46	−66°45′19 $''$ .4	LMC_SC22	12	11	30	KMHK456
LMC0030	5 <sup>h</sup> 02 <sup>m</sup> 18 <sup>s</sup> .92	−69°32′05 $''$ .8	LMC_SC15	17	13	36	BSDL463
LMC0031 <sup>(1),(2)</sup>	5 <sup>h</sup> 02 <sup>m</sup> 33 <sup>s</sup> .05	−68°49′21 $''$ .6	LMC_SC15	17	17	72	SL188
LMC0032	5 <sup>h</sup> 02 <sup>m</sup> 41 <sup>s</sup> .00	−69°31′36 $''$ .9	LMC_SC14	8	6	29	BSDL471
LMC0033	5 <sup>h</sup> 02 <sup>m</sup> 54 <sup>s</sup> .78	−68°46′16 $''$ .0	LMC_SC14	22	20	51	HS95
LMC0034	5 <sup>h</sup> 03 <sup>m</sup> 04 <sup>s</sup> .51	−69°28′10 $''$ .4	LMC_SC14	20	14	59	HS97
LMC0035 <sup>(1)</sup>	5 <sup>h</sup> 03 <sup>m</sup> 05 <sup>s</sup> .95	−69°02′14 $''$ .9	LMC_SC14	25	23	141	SL191
LMC0036	5 <sup>h</sup> 03 <sup>m</sup> 14 <sup>s</sup> .47	−68°38′52 $''$ .7	LMC_SC14	18	17	29	BSDL482
LMC0037	5 <sup>h</sup> 03 <sup>m</sup> 19 <sup>s</sup> .52	−66°58′51 $''$ .9	LMC_SC22	18	16	6	ZHT-SP2
LMC0038	5 <sup>h</sup> 03 <sup>m</sup> 24 <sup>s</sup> .16	−68°51′29 $''$ .7	LMC_SC14	16	14	37	OGLE
LMC0039	5 <sup>h</sup> 03 <sup>m</sup> 26 <sup>s</sup> .51	−67°15′12 $''$ .5	LMC_SC22	19	18	24	BSDL481
LMC0040	5 <sup>h</sup> 03 <sup>m</sup> 28 <sup>s</sup> .96	−69°19′33 $''$ .0	LMC_SC14	15	12	16	BSDL488
LMC0041 <sup>(2)</sup>	5 <sup>h</sup> 03 <sup>m</sup> 33 <sup>s</sup> .69	−67°37′33 $''$ .9	LMC_SC22	18	16	64	SL197,KMHK482
LMC0042	5 <sup>h</sup> 03 <sup>m</sup> 38 <sup>s</sup> .63	−69°23′10 $''$ .4	LMC_SC14	23	17	91	HS102
LMC0043	5 <sup>h</sup> 03 <sup>m</sup> 38 <sup>s</sup> .64	−68°58′44 $''$ .3	LMC_SC14	13	10	24	BSDL489
LMC0044	5 <sup>h</sup> 03 <sup>m</sup> 42 <sup>s</sup> .13	−68°58′06 $''$ .3	LMC_SC14	14	10	44	KMK88-2
LMC0045	5 <sup>h</sup> 03 <sup>m</sup> 44 <sup>s</sup> .77	−66°43′33 $''$ .9	LMC_SC23	9	8	11	BSDL485
LMC0046	5 <sup>h</sup> 03 <sup>m</sup> 46 <sup>s</sup> .14	−67°18′15 $''$ .0	LMC_SC23	21	20	98	NGC1814
LMC0047	5 <sup>h</sup> 03 <sup>m</sup> 47 <sup>s</sup> .88	−68°51′01 $''$ .6	LMC_SC14	19	16	41	BSDL492
LMC0048	5 <sup>h</sup> 03 <sup>m</sup> 49 <sup>s</sup> .94	−68°58′37 $''$ .5	LMC_SC14	10	8	11	BSDL494
LMC0049	5 <sup>h</sup> 03 <sup>m</sup> 51 <sup>s</sup> .68	−67°15′40 $''$ .9	LMC_SC23	19	16	66	NGC1816,ESO85SC37,KMHK488
LMC0050	5 <sup>h</sup> 03 <sup>m</sup> 58 <sup>s</sup> .11	−67°24′02 $''$ .5	LMC_SC23	10	10	28	H88-101
LMC0051	5 <sup>h</sup> 04 <sup>m</sup> 06 <sup>s</sup> .58	−69°02′58 $''$ .2	LMC_SC14	16	13	31	H88-102
LMC0052 <sup>(2)</sup>	5 <sup>h</sup> 04 <sup>m</sup> 11 <sup>s</sup> .79	−69°18′10 $''$ .4	LMC_SC14	19	16	41	KMK88-5,H88-105
LMC0053	5 <sup>h</sup> 04 <sup>m</sup> 19 <sup>s</sup> .30	−69°21′23 $''$ .2	LMC_SC14	10	9	32	KMK88-9,H88-104
LMC0054 <sup>(1)</sup>	5 <sup>h</sup> 04 <sup>m</sup> 19 <sup>s</sup> .43	−68°55′39 $''$ .0	LMC_SC14	19	16	127	NGC1825,SL202,ESO56SC53
LMC0055	5 <sup>h</sup> 04 <sup>m</sup> 21 <sup>s</sup> .39	−69°23′16 $''$ .2	LMC_SC14	20	18	171	NGC1828,SL203,ESO56SC54
LMC0056	5 <sup>h</sup> 04 <sup>m</sup> 23 <sup>s</sup> .91	−69°28′01 $''$ .7	LMC_SC14	26	17	60	BSDL529
LMC0057	5 <sup>h</sup> 04 <sup>m</sup> 24 <sup>s</sup> .94	−69°20′59 $''$ .7	LMC_SC14	13	10	10	H88-107
LMC0058	5 <sup>h</sup> 04 <sup>m</sup> 30 <sup>s</sup> .43	−69°09′21 $''$ .8	LMC_SC14	21	13	51	KMK88-8,H88-106
LMC0059	5 <sup>h</sup> 04 <sup>m</sup> 30 <sup>s</sup> .57	−69°21′18 $''$ .3	LMC_SC14	20	18	45	BRHT3,KMK88-7,H88-108
LMC0060	5 <sup>h</sup> 04 <sup>m</sup> 33 <sup>s</sup> .73	−69°01′02 $''$ .9	LMC_SC14	18	12	26	BSDL532
LMC0061	5 <sup>h</sup> 04 <sup>m</sup> 39 <sup>s</sup> .09	−69°20′26 $''$ .1	LMC_SC14	25	23	168	NGC1830,SL207,ESO56SC56,
LMC0062	5 <sup>h</sup> 04 <sup>m</sup> 41 <sup>s</sup> .35	−69°14′50 $''$ .6	LMC_SC14	18	14	42	KMK88-9,H88-110
LMC0063	5 <sup>h</sup> 04 <sup>m</sup> 44 <sup>s</sup> .89	−68°59′03 $''$ .8	LMC_SC14	19	14	10	H88-112
LMC0064	5 <sup>h</sup> 04 <sup>m</sup> 50 <sup>s</sup> .43	−68°59′16 $''$ .2	LMC_SC14	20	17	14	BSDL555
LMC0065 <sup>(2)</sup>	5 <sup>h</sup> 04 <sup>m</sup> 57 <sup>s</sup> .23	−70°01′08 $''$ .4	LMC_SC12	18	16	70	SL216,KMHK521
LMC0066	5 <sup>h</sup> 05 <sup>m</sup> 00 <sup>s</sup> .64	−68°45′01 $''$ .3	LMC_SC13	14	10	26	BSDL565
LMC0067 <sup>(1)</sup>	5 <sup>h</sup> 05 <sup>m</sup> 02 <sup>s</sup> .99	−68°54′37 $''$ .4	LMC_SC13	31	25	154	KMK88-11,H88-117
LMC0068	5 <sup>h</sup> 05 <sup>m</sup> 06 <sup>s</sup> .14	−69°03′12 $''$ .3	LMC_SC13	18	12	21	H88-115

Table 3

continued

Name OGLE-CL-	$\alpha$ 2000	$\delta$ 2000	Field	$R$ [ $''$ ]	$R_{\text{core}}$ [ $''$ ]	N	Cross- -identifications
LMC0069 <sup>(2)</sup>	5 <sup>h</sup> 05 <sup>m</sup> 07 <sup>s</sup> .05	−69°24′14. <sup>''</sup> 3	LMC_SC12	70	62	1008	NGC1835,SL215,ESO56SC58
LMC0070 <sup>(2)</sup>	5 <sup>h</sup> 05 <sup>m</sup> 09 <sup>s</sup> .53	−67°17′51. <sup>''</sup> 6	LMC_SC23	8	8	30	H88-118,KMHK517
LMC0071	5 <sup>h</sup> 05 <sup>m</sup> 09 <sup>s</sup> .72	−68°57′23. <sup>''</sup> 8	LMC_SC13	15	15	35	H88-119
LMC0072	5 <sup>h</sup> 05 <sup>m</sup> 12 <sup>s</sup> .13	−69°12′26. <sup>''</sup> 5	LMC_SC12	23	19	190	NGC1834,ESO56SC60
LMC0073	5 <sup>h</sup> 05 <sup>m</sup> 12 <sup>s</sup> .14	−68°33′10. <sup>''</sup> 2	LMC_SC13	19	16	94	SL212
LMC0074	5 <sup>h</sup> 05 <sup>m</sup> 13 <sup>s</sup> .74	−69°22′11. <sup>''</sup> 9	LMC_SC12	14	12	52	KMK88-10,H88-120
LMC0075	5 <sup>h</sup> 05 <sup>m</sup> 14 <sup>s</sup> .14	−68°44′34. <sup>''</sup> 4	LMC_SC13	18	17	15	BSDL577
LMC0076	5 <sup>h</sup> 05 <sup>m</sup> 14 <sup>s</sup> .36	−66°42′06. <sup>''</sup> 9	LMC_SC23	9	8	17	BSDL558
LMC0077	5 <sup>h</sup> 05 <sup>m</sup> 18 <sup>s</sup> .53	−68°43′33. <sup>''</sup> 7	LMC_SC13	19	17	8	BSDL581
LMC0078	5 <sup>h</sup> 05 <sup>m</sup> 19 <sup>s</sup> .18	−68°44′14. <sup>''</sup> 7	LMC_SC13	30	27	136	HS107
LMC0079	5 <sup>h</sup> 05 <sup>m</sup> 23 <sup>s</sup> .83	−69°20′23. <sup>''</sup> 8	LMC_SC12	16	14	8	H88-121
LMC0080	5 <sup>h</sup> 05 <sup>m</sup> 24 <sup>s</sup> .96	−68°30′01. <sup>''</sup> 9	LMC_SC13	18	16	63	SL218
LMC0081	5 <sup>h</sup> 05 <sup>m</sup> 35 <sup>s</sup> .79	−68°37′42. <sup>''</sup> 5	LMC_SC13	35	24	292	NGC1836,SL223,ESO56SC31
LMC0082	5 <sup>h</sup> 05 <sup>m</sup> 36 <sup>s</sup> .94	−68°43′06. <sup>''</sup> 4	LMC_SC13	25	21	91	HS109
LMC0083	5 <sup>h</sup> 05 <sup>m</sup> 40 <sup>s</sup> .09	−68°38′11. <sup>''</sup> 9	LMC_SC13	25	21	83	BRHT4
LMC0084	5 <sup>h</sup> 05 <sup>m</sup> 42 <sup>s</sup> .43	−69°02′20. <sup>''</sup> 5	LMC_SC13	8	7	16	OGLE
LMC0085	5 <sup>h</sup> 05 <sup>m</sup> 44 <sup>s</sup> .44	−68°30′24. <sup>''</sup> 6	LMC_SC13	14	11	79	HS111
LMC0086	5 <sup>h</sup> 05 <sup>m</sup> 50 <sup>s</sup> .45	−69°36′24. <sup>''</sup> 9	LMC_SC12	12	10	17	BSDL611
LMC0087	5 <sup>h</sup> 05 <sup>m</sup> 53 <sup>s</sup> .18	−67°02′58. <sup>''</sup> 7	LMC_SC23	12	10	39	BSDL594
LMC0088 <sup>(2)</sup>	5 <sup>h</sup> 05 <sup>m</sup> 54 <sup>s</sup> .61	−66°43′57. <sup>''</sup> 7	LMC_SC23	16	14	19	ZHT3
LMC0089	5 <sup>h</sup> 05 <sup>m</sup> 55 <sup>s</sup> .36	−68°57′04. <sup>''</sup> 8	LMC_SC13	17	14	8	KMK88-14,H88-126
LMC0090	5 <sup>h</sup> 05 <sup>m</sup> 55 <sup>s</sup> .63	−68°37′42. <sup>''</sup> 8	LMC_SC13	27	26	89	BSDL603
LMC0091	5 <sup>h</sup> 06 <sup>m</sup> 00 <sup>s</sup> .72	−68°33′21. <sup>''</sup> 0	LMC_SC13	18	16	29	BSDL605
LMC0092	5 <sup>h</sup> 06 <sup>m</sup> 02 <sup>s</sup> .27	−68°57′22. <sup>''</sup> 2	LMC_SC13	14	13	16	KMK88-16
LMC0093	5 <sup>h</sup> 06 <sup>m</sup> 02 <sup>s</sup> .89	−68°37′41. <sup>''</sup> 6	LMC_SC13	25	24	192	NGC1839,SL226,ESO56SC63
LMC0094	5 <sup>h</sup> 06 <sup>m</sup> 06 <sup>s</sup> .18	−67°02′02. <sup>''</sup> 8	LMC_SC24	16	14	16	BSDL601
LMC0095	5 <sup>h</sup> 06 <sup>m</sup> 06 <sup>s</sup> .33	−68°22′00. <sup>''</sup> 9	LMC_SC13	12	10	8	BSDL616
LMC0096	5 <sup>h</sup> 06 <sup>m</sup> 07 <sup>s</sup> .30	−69°11′03. <sup>''</sup> 7	LMC_SC12	17	16	39	KMK88-12,H88-128
LMC0097	5 <sup>h</sup> 06 <sup>m</sup> 08 <sup>s</sup> .81	−68°26′45. <sup>''</sup> 2	LMC_SC13	25	22	116	NGC1838,SL225,ESO56SC64
LMC0098	5 <sup>h</sup> 06 <sup>m</sup> 10 <sup>s</sup> .08	−70°00′52. <sup>''</sup> 2	LMC_SC12	22	16	58	KMHK540
LMC0099	5 <sup>h</sup> 06 <sup>m</sup> 11 <sup>s</sup> .55	−69°58′21. <sup>''</sup> 9	LMC_SC12	19	16	34	KMHK541
LMC0100	5 <sup>h</sup> 06 <sup>m</sup> 12 <sup>s</sup> .42	−69°03′26. <sup>''</sup> 5	LMC_SC13	20	18	57	KMK88-15,H88-127
LMC0101	5 <sup>h</sup> 06 <sup>m</sup> 12 <sup>s</sup> .80	−68°50′54. <sup>''</sup> 0	LMC_SC13	18	14	119	KMK88-17
LMC0102	5 <sup>h</sup> 06 <sup>m</sup> 22 <sup>s</sup> .30	−69°28′04. <sup>''</sup> 7	LMC_SC12	23	18	27	SL231
LMC0103	5 <sup>h</sup> 06 <sup>m</sup> 24 <sup>s</sup> .14	−69°34′06. <sup>''</sup> 1	LMC_SC12	23	18	33	BSDL634
LMC0104	5 <sup>h</sup> 06 <sup>m</sup> 24 <sup>s</sup> .53	−68°42′18. <sup>''</sup> 8	LMC_SC13	29	23	147	HS117
LMC0105	5 <sup>h</sup> 06 <sup>m</sup> 24 <sup>s</sup> .81	−68°22′29. <sup>''</sup> 5	LMC_SC13	20	18	106	SL229,BRHT29
LMC0106 <sup>(1)</sup>	5 <sup>h</sup> 06 <sup>m</sup> 27 <sup>s</sup> .95	−66°54′21. <sup>''</sup> 4	LMC_SC24	29	27	143	SL228,BRHT28,KMHK538
LMC0107 <sup>(1),(2)</sup>	5 <sup>h</sup> 06 <sup>m</sup> 33 <sup>s</sup> .57	−68°21′47. <sup>''</sup> 3	LMC_SC13	19	18	162	SL230,BRHT29
LMC0108	5 <sup>h</sup> 06 <sup>m</sup> 33 <sup>s</sup> .66	−69°34′05. <sup>''</sup> 4	LMC_SC12	18	16	7	BSDL640
LMC0109 <sup>(2)</sup>	5 <sup>h</sup> 06 <sup>m</sup> 34 <sup>s</sup> .11	−68°25′38. <sup>''</sup> 2	LMC_SC13	14	14	55	BSDL631
LMC0110 <sup>(2)</sup>	5 <sup>h</sup> 06 <sup>m</sup> 44 <sup>s</sup> .22	−69°03′09. <sup>''</sup> 1	LMC_SC13	22	16	42	OGLE
LMC0111 <sup>(2)</sup>	5 <sup>h</sup> 06 <sup>m</sup> 47 <sup>s</sup> .40	−68°36′59. <sup>''</sup> 4	LMC_SC13	41	41	209	HS118
LMC0112	5 <sup>h</sup> 06 <sup>m</sup> 51 <sup>s</sup> .75	−68°52′51. <sup>''</sup> 8	LMC_SC13	24	18	41	KMK88-18,H88-132
LMC0113	5 <sup>h</sup> 06 <sup>m</sup> 54 <sup>s</sup> .55	−68°43′07. <sup>''</sup> 8	LMC_SC13	27	22	191	SL234
LMC0114	5 <sup>h</sup> 06 <sup>m</sup> 55 <sup>s</sup> .72	−69°25′48. <sup>''</sup> 2	LMC_SC12	12	10	14	OGLE
LMC0115	5 <sup>h</sup> 06 <sup>m</sup> 57 <sup>s</sup> .14	−68°39′27. <sup>''</sup> 0	LMC_SC13	32	28	52	BSDL648
LMC0116 <sup>(1)</sup>	5 <sup>h</sup> 06 <sup>m</sup> 58 <sup>s</sup> .34	−69°08′50. <sup>''</sup> 5	LMC_SC13	30	25	132	SL237
LMC0117	5 <sup>h</sup> 06 <sup>m</sup> 59 <sup>s</sup> .17	−69°19′11. <sup>''</sup> 7	LMC_SC12	20	19	66	HS119,H88-137
LMC0118 <sup>(1)</sup>	5 <sup>h</sup> 07 <sup>m</sup> 08 <sup>s</sup> .54	−68°58′22. <sup>''</sup> 7	LMC_SC13	34	30	232	NGC1847,SL240,ESO56SC66
LMC0119	5 <sup>h</sup> 07 <sup>m</sup> 10 <sup>s</sup> .92	−68°18′03. <sup>''</sup> 5	LMC_SC13	13	11	66	KMHK554
LMC0120	5 <sup>h</sup> 07 <sup>m</sup> 11 <sup>s</sup> .38	−69°07′13. <sup>''</sup> 1	LMC_SC13	20	18	23	KMK88-19,H88-139
LMC0121	5 <sup>h</sup> 07 <sup>m</sup> 18 <sup>s</sup> .75	−67°16′20. <sup>''</sup> 4	LMC_SC24	21	16	87	NGC1842,SL241,ESO85SC46
LMC0122	5 <sup>h</sup> 07 <sup>m</sup> 19 <sup>s</sup> .10	−68°20′54. <sup>''</sup> 7	LMC_SC13	7	6	11	OGLE
LMC0123	5 <sup>h</sup> 07 <sup>m</sup> 20 <sup>s</sup> .75	−66°49′44. <sup>''</sup> 7	LMC_SC24	9	8	24	BSDL654
LMC0124 <sup>(2)</sup>	5 <sup>h</sup> 07 <sup>m</sup> 28 <sup>s</sup> .07	−68°58′31. <sup>''</sup> 9	LMC_SC11	25	25	45	BSDL664
LMC0125	5 <sup>h</sup> 07 <sup>m</sup> 29 <sup>s</sup> .76	−68°53′20. <sup>''</sup> 5	LMC_SC11	25	20	32	BSDL663
LMC0126 <sup>(2)</sup>	5 <sup>h</sup> 07 <sup>m</sup> 30 <sup>s</sup> .27	−67°19′26. <sup>''</sup> 3	LMC_SC24	26	22	177	NGC1844,SL242,ESO85SC48
LMC0127	5 <sup>h</sup> 07 <sup>m</sup> 31 <sup>s</sup> .93	−67°34′12. <sup>''</sup> 5	LMC_SC24	12	11	19	OGLE
LMC0128 <sup>(2)</sup>	5 <sup>h</sup> 07 <sup>m</sup> 35 <sup>s</sup> .25	−67°27′38. <sup>''</sup> 9	LMC_SC24	82	70	1784	NGC1846,SL243,ESO56SC67
LMC0129	5 <sup>h</sup> 07 <sup>m</sup> 38 <sup>s</sup> .63	−68°47′45. <sup>''</sup> 9	LMC_SC11	20	16	41	HS122
LMC0130	5 <sup>h</sup> 07 <sup>m</sup> 46 <sup>s</sup> .54	−66°47′52. <sup>''</sup> 7	LMC_SC24	16	14	13	BSDL665
LMC0131	5 <sup>h</sup> 07 <sup>m</sup> 50 <sup>s</sup> .25	−67°04′27. <sup>''</sup> 2	LMC_SC24	12	9	18	BSDL671
LMC0132	5 <sup>h</sup> 07 <sup>m</sup> 51 <sup>s</sup> .03	−69°26′11. <sup>''</sup> 0	LMC_SC11	22	16	176	SL250
LMC0133	5 <sup>h</sup> 07 <sup>m</sup> 55 <sup>s</sup> .46	−69°17′57. <sup>''</sup> 3	LMC_SC11	11	9	13	KMK88-20,H88-148
LMC0134	5 <sup>h</sup> 07 <sup>m</sup> 55 <sup>s</sup> .81	−67°21′28. <sup>''</sup> 3	LMC_SC24	16	16	26	BSDL675
LMC0135	5 <sup>h</sup> 08 <sup>m</sup> 03 <sup>s</sup> .87	−69°18′03. <sup>''</sup> 7	LMC_SC11	10	9	13	KMK88-22
LMC0136	5 <sup>h</sup> 08 <sup>m</sup> 06 <sup>s</sup> .57	−69°16′04. <sup>''</sup> 3	LMC_SC11	31	28	69	KMK88-24,H88-152



Table 3

continued

Name OGLE-CL-	$\alpha_{2000}$	$\delta_{2000}$	Field	$R$ [ $''$ ]	$R_{\text{core}}$ [ $''$ ]	N	Cross- -identifications
LMC0137	5 <sup>h</sup> 08 <sup>m</sup> 11 <sup>s</sup> 34	−69°02′22. <sup>''</sup> 9	LMC_SC11	24	22	44	KMK88-25,H88-151
LMC0138	5 <sup>h</sup> 08 <sup>m</sup> 12 <sup>s</sup> 67	−69°00′39. <sup>''</sup> 9	LMC_SC11	18	16	39	KMK88-26,H88-149
LMC0139	5 <sup>h</sup> 08 <sup>m</sup> 27 <sup>s</sup> 66	−66°46′13. <sup>''</sup> 7	LMC_SC25	20	17	40	KMHK575
LMC0140	5 <sup>h</sup> 08 <sup>m</sup> 34 <sup>s</sup> 99	−69°10′36. <sup>''</sup> 1	LMC_SC11	20	16	49	HS127
LMC0141	5 <sup>h</sup> 08 <sup>m</sup> 43 <sup>s</sup> 59	−69°10′58. <sup>''</sup> 6	LMC_SC11	18	16	24	HS128
LMC0142	5 <sup>h</sup> 08 <sup>m</sup> 45 <sup>s</sup> 79	−68°45′38. <sup>''</sup> 6	LMC_SC11	63	55	1862	NGC1850,SL261,ESO56SC70
LMC0143 <sup>(2)</sup>	5 <sup>h</sup> 08 <sup>m</sup> 45 <sup>s</sup> 90	−68°41′57. <sup>''</sup> 8	LMC_SC11	11	10	22	BSDL711
LMC0144	5 <sup>h</sup> 08 <sup>m</sup> 53 <sup>s</sup> 74	−66°47′07. <sup>''</sup> 5	LMC_SC25	9	9	11	SL263
LMC0145	5 <sup>h</sup> 08 <sup>m</sup> 54 <sup>s</sup> 55	−68°45′13. <sup>''</sup> 9	LMC_SC11	29	25	67	BRHT5,H88-159
LMC0146	5 <sup>h</sup> 08 <sup>m</sup> 56 <sup>s</sup> 85	−69°36′31. <sup>''</sup> 3	LMC_SC11	25	23	17	BSDL725
LMC0147	5 <sup>h</sup> 09 <sup>m</sup> 00 <sup>s</sup> 69	−66°51′17. <sup>''</sup> 5	LMC_SC25	30	27	13	BSDL706
LMC0148 <sup>(2)</sup>	5 <sup>h</sup> 09 <sup>m</sup> 04 <sup>s</sup> 37	−68°58′52. <sup>''</sup> 9	LMC_SC11	7	6	12	OGLE
LMC0149	5 <sup>h</sup> 09 <sup>m</sup> 12 <sup>s</sup> 95	−69°17′00. <sup>''</sup> 0	LMC_SC11	11	10	7	BSDL734
LMC0150	5 <sup>h</sup> 09 <sup>m</sup> 13 <sup>s</sup> 36	−69°06′52. <sup>''</sup> 0	LMC_SC11	18	18	79	KMK88-28,H88-164
LMC0151	5 <sup>h</sup> 09 <sup>m</sup> 14 <sup>s</sup> 13	−69°16′00. <sup>''</sup> 9	LMC_SC11	7	6	8	OGLE
LMC0152	5 <sup>h</sup> 09 <sup>m</sup> 14 <sup>s</sup> 74	−68°44′02. <sup>''</sup> 1	LMC_SC11	20	17	82	H88-165
LMC0153	5 <sup>h</sup> 09 <sup>m</sup> 14 <sup>s</sup> 75	−69°35′17. <sup>''</sup> 4	LMC_SC11	32	28	460	SL268
LMC0154	5 <sup>h</sup> 09 <sup>m</sup> 20 <sup>s</sup> 10	−68°50′52. <sup>''</sup> 8	LMC_SC11	43	37	601	NGC1854,SL265,ESO56SC72
LMC0155	5 <sup>h</sup> 09 <sup>m</sup> 24 <sup>s</sup> 99	−68°51′47. <sup>''</sup> 4	LMC_SC11	25	23	29	BSDL745
LMC0156	5 <sup>h</sup> 09 <sup>m</sup> 28 <sup>s</sup> 43	−68°51′01. <sup>''</sup> 5	LMC_SC11	21	19	15	BSDL748
LMC0157	5 <sup>h</sup> 09 <sup>m</sup> 30 <sup>s</sup> 39	−69°07′45. <sup>''</sup> 4	LMC_SC11	59	49	1377	NGC1856,SL271,ESO56SC73
LMC0158	5 <sup>h</sup> 09 <sup>m</sup> 40 <sup>s</sup> 19	−69°12′39. <sup>''</sup> 4	LMC_SC11	25	20	125	HS136
LMC0159	5 <sup>h</sup> 09 <sup>m</sup> 42 <sup>s</sup> 27	−69°11′08. <sup>''</sup> 8	LMC_SC11	30	29	63	H88-169
LMC0160	5 <sup>h</sup> 09 <sup>m</sup> 42 <sup>s</sup> 92	−68°48′06. <sup>''</sup> 5	LMC_SC11	18	14	58	BRHT47,KMK88-29,H88-171
LMC0161	5 <sup>h</sup> 09 <sup>m</sup> 45 <sup>s</sup> 66	−68°47′18. <sup>''</sup> 1	LMC_SC11	22	16	62	HS139,BRHT47
LMC0162	5 <sup>h</sup> 09 <sup>m</sup> 49 <sup>s</sup> 23	−69°05′04. <sup>''</sup> 0	LMC_SC11	22	20	109	HS141
LMC0163	5 <sup>h</sup> 09 <sup>m</sup> 55 <sup>s</sup> 81	−69°19′50. <sup>''</sup> 3	LMC_SC11	9	9	12	H88-172
LMC0164 <sup>(1),(2)</sup>	5 <sup>h</sup> 09 <sup>m</sup> 56 <sup>s</sup> 09	−68°54′06. <sup>''</sup> 2	LMC_SC11	119	96	550	NGC1858,SL274
LMC0165 <sup>(2)</sup>	5 <sup>h</sup> 09 <sup>m</sup> 57 <sup>s</sup> 09	−68°43′55. <sup>''</sup> 8	LMC_SC11	12	12	29	BSDL765
LMC0166	5 <sup>h</sup> 09 <sup>m</sup> 57 <sup>s</sup> 38	−69°16′59. <sup>''</sup> 9	LMC_SC11	11	11	6	OGLE
LMC0167 <sup>(2)</sup>	5 <sup>h</sup> 09 <sup>m</sup> 59 <sup>s</sup> 75	−69°21′14. <sup>''</sup> 4	LMC_SC10	20	20	166	SL276
LMC0168	5 <sup>h</sup> 10 <sup>m</sup> 02 <sup>s</sup> 77	−68°50′00. <sup>''</sup> 5	LMC_SC10	25	25	20	OGLE
LMC0169	5 <sup>h</sup> 10 <sup>m</sup> 07 <sup>s</sup> 06	−69°05′15. <sup>''</sup> 2	LMC_SC10	16	12	6	OGLE
LMC0170	5 <sup>h</sup> 10 <sup>m</sup> 11 <sup>s</sup> 15	−69°05′15. <sup>''</sup> 0	LMC_SC10	12	10	40	HS147,H88-174
LMC0171	5 <sup>h</sup> 10 <sup>m</sup> 13 <sup>s</sup> 42	−68°42′30. <sup>''</sup> 0	LMC_SC10	24	20	3	OGLE
LMC0172	5 <sup>h</sup> 10 <sup>m</sup> 16 <sup>s</sup> 22	−69°20′28. <sup>''</sup> 9	LMC_SC10	27	23	173	SL280
LMC0173	5 <sup>h</sup> 10 <sup>m</sup> 18 <sup>s</sup> 54	−69°04′46. <sup>''</sup> 5	LMC_SC10	10	9	4	KMK88-31,H88-179
LMC0174	5 <sup>h</sup> 10 <sup>m</sup> 18 <sup>s</sup> 79	−69°16′21. <sup>''</sup> 3	LMC_SC10	9	7	3	HS155
LMC0175	5 <sup>h</sup> 10 <sup>m</sup> 19 <sup>s</sup> 85	−69°31′23. <sup>''</sup> 9	LMC_SC10	11	6	6	OGLE
LMC0176	5 <sup>h</sup> 10 <sup>m</sup> 20 <sup>s</sup> 23	−68°52′37. <sup>''</sup> 6	LMC_SC10	19	14	87	BRHT48,KMK88-32,H88-178
LMC0177	5 <sup>h</sup> 10 <sup>m</sup> 22 <sup>s</sup> 56	−68°55′41. <sup>''</sup> 8	LMC_SC10	34	30	54	H88-177
LMC0178	5 <sup>h</sup> 10 <sup>m</sup> 27 <sup>s</sup> 87	−68°41′54. <sup>''</sup> 8	LMC_SC10	12	10	23	HS152
LMC0179	5 <sup>h</sup> 10 <sup>m</sup> 29 <sup>s</sup> 73	−68°52′21. <sup>''</sup> 5	LMC_SC10	21	16	51	HS153,BRHT48
LMC0180	5 <sup>h</sup> 10 <sup>m</sup> 30 <sup>s</sup> 90	−68°56′03. <sup>''</sup> 1	LMC_SC10	27	25	28	H88-180
LMC0181	5 <sup>h</sup> 10 <sup>m</sup> 30 <sup>s</sup> 90	−69°30′59. <sup>''</sup> 8	LMC_SC10	16	14	23	H88-185
LMC0182	5 <sup>h</sup> 10 <sup>m</sup> 32 <sup>s</sup> 11	−66°56′24. <sup>''</sup> 1	LMC_SC25	10	8	27	BSDL779
LMC0183 <sup>(2)</sup>	5 <sup>h</sup> 10 <sup>m</sup> 32 <sup>s</sup> 91	−67°07′38. <sup>''</sup> 7	LMC_SC25	23	20	73	SL281,KMHK616
LMC0184	5 <sup>h</sup> 10 <sup>m</sup> 35 <sup>s</sup> 82	−69°08′47. <sup>''</sup> 8	LMC_SC10	12	11	13	H88-182
LMC0185	5 <sup>h</sup> 10 <sup>m</sup> 39 <sup>s</sup> 07	−69°02′31. <sup>''</sup> 0	LMC_SC10	22	18	134	SL288
LMC0186	5 <sup>h</sup> 10 <sup>m</sup> 39 <sup>s</sup> 29	−66°43′44. <sup>''</sup> 7	LMC_SC26	8	8	15	BSDL783
LMC0187	5 <sup>h</sup> 10 <sup>m</sup> 39 <sup>s</sup> 87	−68°45′13. <sup>''</sup> 0	LMC_SC10	28	20	163	NGC1860,SL284,ESO56SC75
LMC0188	5 <sup>h</sup> 10 <sup>m</sup> 40 <sup>s</sup> 11	−69°16′26. <sup>''</sup> 5	LMC_SC10	14	11	32	H88-184
LMC0189	5 <sup>h</sup> 10 <sup>m</sup> 42 <sup>s</sup> 05	−69°34′34. <sup>''</sup> 4	LMC_SC10	23	21	11	BSDL800
LMC0190	5 <sup>h</sup> 10 <sup>m</sup> 43 <sup>s</sup> 63	−67°04′49. <sup>''</sup> 2	LMC_SC26	10	9	24	OGLE
LMC0191	5 <sup>h</sup> 10 <sup>m</sup> 53 <sup>s</sup> 54	−67°28′16. <sup>''</sup> 1	LMC_SC26	12	10	22	H88-188,KMHK622
LMC0192	5 <sup>h</sup> 10 <sup>m</sup> 55 <sup>s</sup> 82	−69°33′33. <sup>''</sup> 5	LMC_SC10	25	23	142	SL296
LMC0193	5 <sup>h</sup> 10 <sup>m</sup> 55 <sup>s</sup> 91	−68°56′36. <sup>''</sup> 3	LMC_SC10	12	8	35	KMK88-35,H88-187
LMC0194 <sup>(2)</sup>	5 <sup>h</sup> 10 <sup>m</sup> 56 <sup>s</sup> 04	−67°37′36. <sup>''</sup> 0	LMC_SC26	16	14	36	HS154,H88-189,KMHK625
LMC0195 <sup>(1)</sup>	5 <sup>h</sup> 10 <sup>m</sup> 58 <sup>s</sup> 52	−68°48′44. <sup>''</sup> 7	LMC_SC10	11	10	24	KMK88-36,H88-193
LMC0196	5 <sup>h</sup> 10 <sup>m</sup> 59 <sup>s</sup> 82	−66°44′30. <sup>''</sup> 5	LMC_SC26	27	25	30	BSDL797
LMC0197	5 <sup>h</sup> 11 <sup>m</sup> 01 <sup>s</sup> 55	−69°31′28. <sup>''</sup> 4	LMC_SC10	11	10	12	H88-192
LMC0198	5 <sup>h</sup> 11 <sup>m</sup> 06 <sup>s</sup> 17	−69°10′19. <sup>''</sup> 5	LMC_SC10	13	11	30	KMK88-34,H88-191
LMC0199	5 <sup>h</sup> 11 <sup>m</sup> 11 <sup>s</sup> 11	−67°37′36. <sup>''</sup> 5	LMC_SC26	8	8	10	HS156,H88-190,KMHK632
LMC0200	5 <sup>h</sup> 11 <sup>m</sup> 21 <sup>s</sup> 50	−69°18′37. <sup>''</sup> 6	LMC_SC10	12	12	38	KMK88-33,H88-194
LMC0201	5 <sup>h</sup> 11 <sup>m</sup> 27 <sup>s</sup> 91	−68°53′45. <sup>''</sup> 9	LMC_SC10	15	14	20	BSDL827
LMC0202	5 <sup>h</sup> 11 <sup>m</sup> 28 <sup>s</sup> 28	−68°51′03. <sup>''</sup> 6	LMC_SC10	9	8	7	H88-199
LMC0203	5 <sup>h</sup> 11 <sup>m</sup> 31 <sup>s</sup> 45	−66°58′32. <sup>''</sup> 2	LMC_SC26	37	34	245	SL298,KMHK636
LMC0204	5 <sup>h</sup> 11 <sup>m</sup> 31 <sup>s</sup> 57	−66°44′46. <sup>''</sup> 6	LMC_SC26	12	10	9	BSDL820

Table 3

continued

Name OGLE-CL-	$\alpha$ 2000	$\delta$ 2000	Field	$R$ [ $''$ ]	$R_{\text{core}}$ [ $''$ ]	N	Cross- -identifications
LMC0205 <sup>(2)</sup>	5 <sup>h</sup> 11 <sup>m</sup> 34 <sup>s</sup> 35	−69°06′34. $''$ 1	LMC_SC10	32	24	19	HS161
LMC0206 <sup>(1),(2)</sup>	5 <sup>h</sup> 11 <sup>m</sup> 40 <sup>s</sup> 14	−68°43′35. $''$ 9	LMC_SC10	30	25	108	NGC1863,SL299,ESO56SC77
LMC0207	5 <sup>h</sup> 11 <sup>m</sup> 40 <sup>s</sup> 85	−67°03′56. $''$ 3	LMC_SC26	27	23	72	SL300,H88-198,KMHK638
LMC0208 <sup>(2)</sup>	5 <sup>h</sup> 11 <sup>m</sup> 43 <sup>s</sup> 74	−68°47′08. $''$ 9	LMC_SC10	13	12	5	KMK88-37,H88-203
LMC0209	5 <sup>h</sup> 12 <sup>m</sup> 00 <sup>s</sup> 99	−69°12′04. $''$ 4	LMC_SC10	39	37	184	SL304
LMC0210	5 <sup>h</sup> 12 <sup>m</sup> 03 <sup>s</sup> 06	−69°17′11. $''$ 8	LMC_SC10	18	17	16	BSDL853
LMC0211	5 <sup>h</sup> 12 <sup>m</sup> 03 <sup>s</sup> 79	−69°12′53. $''$ 5	LMC_SC10	26	25	21	HS167
LMC0212	5 <sup>h</sup> 12 <sup>m</sup> 08 <sup>s</sup> 79	−69°16′44. $''$ 5	LMC_SC10	20	16	78	HS169
LMC0213	5 <sup>h</sup> 12 <sup>m</sup> 09 <sup>s</sup> 46	−68°54′44. $''$ 3	LMC_SC10	12	10	30	KMK88-38,H88-206
LMC0214	5 <sup>h</sup> 12 <sup>m</sup> 13 <sup>s</sup> 20	−68°57′04. $''$ 5	LMC_SC10	18	12	34	HS166
LMC0215	5 <sup>h</sup> 12 <sup>m</sup> 14 <sup>s</sup> 91	−68°55′52. $''$ 1	LMC_SC10	18	16	18	KMK88-39,H88-205
LMC0216	5 <sup>h</sup> 12 <sup>m</sup> 14 <sup>s</sup> 92	−69°25′03. $''$ 6	LMC_SC10	23	20	6	BSDL868
LMC0217	5 <sup>h</sup> 12 <sup>m</sup> 15 <sup>s</sup> 45	−67°04′25. $''$ 8	LMC_SC26	11	10	17	BSDL850
LMC0218	5 <sup>h</sup> 12 <sup>m</sup> 17 <sup>s</sup> 18	−69°17′31. $''$ 9	LMC_SC10	13	12	9	OGLE
LMC0219	5 <sup>h</sup> 12 <sup>m</sup> 18 <sup>s</sup> 11	−69°17′02. $''$ 9	LMC_SC10	19	16	23	H88-204
LMC0220	5 <sup>h</sup> 12 <sup>m</sup> 21 <sup>s</sup> 16	−69°24′41. $''$ 3	LMC_SC10	14	11	10	H88-210
LMC0221	5 <sup>h</sup> 12 <sup>m</sup> 25 <sup>s</sup> 01	−68°46′19. $''$ 0	LMC_SC10	34	25	299	NGC1865,SL307,ESO56SC78
LMC0222	5 <sup>h</sup> 12 <sup>m</sup> 27 <sup>s</sup> 60	−69°33′21. $''$ 8	LMC_SC10	11	10	31	BSDL880
LMC0223	5 <sup>h</sup> 12 <sup>m</sup> 27 <sup>s</sup> 72	−69°21′04. $''$ 7	LMC_SC10	31	28	50	OGLE
LMC0224	5 <sup>h</sup> 12 <sup>m</sup> 30 <sup>s</sup> 25	−67°17′27. $''$ 9	LMC_SC26	16	12	50	SL310,KMHK652
LMC0225	5 <sup>h</sup> 12 <sup>m</sup> 32 <sup>s</sup> 72	−69°13′45. $''$ 8	LMC_SC9	16	16	69	OGLE
LMC0226 <sup>(1)</sup>	5 <sup>h</sup> 12 <sup>m</sup> 34 <sup>s</sup> 43	−69°17′13. $''$ 7	LMC_SC9	16	14	100	KMK88-40,H88-211
LMC0227 <sup>(1)</sup>	5 <sup>h</sup> 12 <sup>m</sup> 38 <sup>s</sup> 05	−69°17′33. $''$ 0	LMC_SC9	14	12	43	KMK88-41,H88-212
LMC0228	5 <sup>h</sup> 12 <sup>m</sup> 39 <sup>s</sup> 67	−69°10′48. $''$ 6	LMC_SC9	16	16	28	BSDL887
LMC0229	5 <sup>h</sup> 12 <sup>m</sup> 40 <sup>s</sup> 28	−67°37′24. $''$ 1	LMC_SC26	25	20	110	NGC1864,SL309,ESO56SC79
LMC0230	5 <sup>h</sup> 12 <sup>m</sup> 48 <sup>s</sup> 98	−68°51′51. $''$ 4	LMC_SC9	18	14	57	KMK88-42,H88-216
LMC0231	5 <sup>h</sup> 12 <sup>m</sup> 57 <sup>s</sup> 20	−68°56′33. $''$ 0	LMC_SC9	23	18	23	SL311
LMC0232	5 <sup>h</sup> 12 <sup>m</sup> 57 <sup>s</sup> 60	−69°04′05. $''$ 7	LMC_SC9	12	10	29	HS175,KMK88-44
LMC0233	5 <sup>h</sup> 13 <sup>m</sup> 03 <sup>s</sup> 60	−69°02′59. $''$ 6	LMC_SC9	16	12	76	HS177
LMC0234	5 <sup>h</sup> 13 <sup>m</sup> 07 <sup>s</sup> 87	−69°26′58. $''$ 0	LMC_SC9	26	20	11	BSDL910
LMC0235	5 <sup>h</sup> 13 <sup>m</sup> 10 <sup>s</sup> 88	−69°07′02. $''$ 9	LMC_SC9	28	23	194	NGC1870,SL317,ESO56SC81
LMC0236	5 <sup>h</sup> 13 <sup>m</sup> 11 <sup>s</sup> 65	−69°18′45. $''$ 0	LMC_SC9	43	35	688	NGC1872,SL318,ESO56SC83
LMC0237	5 <sup>h</sup> 13 <sup>m</sup> 13 <sup>s</sup> 22	−69°22′30. $''$ 3	LMC_SC9	18	16	2	NGC1874
LMC0238	5 <sup>h</sup> 13 <sup>m</sup> 19 <sup>s</sup> 04	−69°21′44. $''$ 5	LMC_SC9	32	31	31	NGC1876
LMC0239	5 <sup>h</sup> 13 <sup>m</sup> 19 <sup>s</sup> 34	−69°12′33. $''$ 8	LMC_SC9	14	12	31	BSDL919
LMC0240	5 <sup>h</sup> 13 <sup>m</sup> 21 <sup>s</sup> 75	−69°22′37. $''$ 9	LMC_SC9	27	25	33	NGC1877
LMC0241	5 <sup>h</sup> 13 <sup>m</sup> 25 <sup>s</sup> 65	−69°10′50. $''$ 1	LMC_SC9	18	16	36	OGLE
LMC0242	5 <sup>h</sup> 13 <sup>m</sup> 28 <sup>s</sup> 42	−69°22′21. $''$ 7	LMC_SC9	23	23	14	OGLE
LMC0243	5 <sup>h</sup> 13 <sup>m</sup> 29 <sup>s</sup> 40	−69°27′57. $''$ 2	LMC_SC9	23	19	45	BSDL925
LMC0244	5 <sup>h</sup> 13 <sup>m</sup> 35 <sup>s</sup> 75	−68°49′28. $''$ 3	LMC_SC9	18	12	36	HS179
LMC0245 <sup>(1)</sup>	5 <sup>h</sup> 13 <sup>m</sup> 37 <sup>s</sup> 33	−69°18′03. $''$ 3	LMC_SC9	23	18	74	NGC1881,SL323,ESO56SC86
LMC0246	5 <sup>h</sup> 13 <sup>m</sup> 38 <sup>s</sup> 90	−69°23′02. $''$ 0	LMC_SC9	18	16	8	NGC1880
LMC0247	5 <sup>h</sup> 13 <sup>m</sup> 40 <sup>s</sup> 08	−69°22′26. $''$ 8	LMC_SC9	11	10	20	OGLE
LMC0248	5 <sup>h</sup> 13 <sup>m</sup> 50 <sup>s</sup> 85	−69°29′37. $''$ 9	LMC_SC9	12	12	31	HS181
LMC0249	5 <sup>h</sup> 13 <sup>m</sup> 53 <sup>s</sup> 97	−69°24′18. $''$ 9	LMC_SC9	12	11	33	BSDL948
LMC0250	5 <sup>h</sup> 14 <sup>m</sup> 00 <sup>s</sup> 70	−69°05′35. $''$ 0	LMC_SC9	18	15	35	BSDL955
LMC0251	5 <sup>h</sup> 14 <sup>m</sup> 01 <sup>s</sup> 55	−68°56′59. $''$ 1	LMC_SC9	12	11	62	HS182
LMC0252 <sup>(2)</sup>	5 <sup>h</sup> 14 <sup>m</sup> 08 <sup>s</sup> 11	−69°03′46. $''$ 1	LMC_SC9	18	18	50	BSDL960
LMC0253	5 <sup>h</sup> 14 <sup>m</sup> 17 <sup>s</sup> 64	−69°06′00. $''$ 9	LMC_SC9	12	10	44	H88-227
LMC0254	5 <sup>h</sup> 14 <sup>m</sup> 39 <sup>s</sup> 80	−68°57′48. $''$ 2	LMC_SC9	13	12	19	BSDL991
LMC0255	5 <sup>h</sup> 14 <sup>m</sup> 48 <sup>s</sup> 29	−68°54′21. $''$ 6	LMC_SC9	24	20	34	BSDL999
LMC0256	5 <sup>h</sup> 14 <sup>m</sup> 48 <sup>s</sup> 79	−69°27′24. $''$ 4	LMC_SC9	31	27	138	HS190
LMC0257	5 <sup>h</sup> 14 <sup>m</sup> 51 <sup>s</sup> 14	−69°25′46. $''$ 8	LMC_SC9	11	11	26	HS191
LMC0258 <sup>(1)</sup>	5 <sup>h</sup> 14 <sup>m</sup> 55 <sup>s</sup> 32	−69°33′34. $''$ 8	LMC_SC9	24	23	29	BSDL1009
LMC0259	5 <sup>h</sup> 15 <sup>m</sup> 02 <sup>s</sup> 34	−69°20′08. $''$ 3	LMC_SC9	23	20	75	HS192
LMC0260	5 <sup>h</sup> 15 <sup>m</sup> 03 <sup>s</sup> 58	−69°03′56. $''$ 0	LMC_SC8	7	6	6	BSDL1018
LMC0261 <sup>(2)</sup>	5 <sup>h</sup> 15 <sup>m</sup> 06 <sup>s</sup> 95	−68°58′43. $''$ 4	LMC_SC8	33	24	226	NGC1885,SL338,ESO56SC88
LMC0262	5 <sup>h</sup> 15 <sup>m</sup> 14 <sup>s</sup> 62	−68°52′57. $''$ 2	LMC_SC8	22	19	23	BSDL1024
LMC0263	5 <sup>h</sup> 15 <sup>m</sup> 17 <sup>s</sup> 28	−69°32′14. $''$ 5	LMC_SC8	27	23	52	OGLE
LMC0264	5 <sup>h</sup> 15 <sup>m</sup> 21 <sup>s</sup> 16	−69°06′26. $''$ 9	LMC_SC8	11	10	14	OGLE
LMC0265	5 <sup>h</sup> 15 <sup>m</sup> 25 <sup>s</sup> 80	−69°03′02. $''$ 7	LMC_SC8	18	12	36	HS198
LMC0266	5 <sup>h</sup> 15 <sup>m</sup> 27 <sup>s</sup> 32	−69°20′43. $''$ 0	LMC_SC8	18	17	23	OGLE
LMC0267	5 <sup>h</sup> 15 <sup>m</sup> 33 <sup>s</sup> 35	−69°31′56. $''$ 5	LMC_SC8	9	8	10	BSDL1047
LMC0268	5 <sup>h</sup> 15 <sup>m</sup> 34 <sup>s</sup> 64	−69°34′42. $''$ 0	LMC_SC8	8	7	3	BSDL1049
LMC0269	5 <sup>h</sup> 15 <sup>m</sup> 35 <sup>s</sup> 62	−69°08′20. $''$ 8	LMC_SC8	29	25	13	HS200
LMC0270	5 <sup>h</sup> 15 <sup>m</sup> 37 <sup>s</sup> 18	−69°28′24. $''$ 5	LMC_SC8	25	18	63	SL341,BRHT8
LMC0271	5 <sup>h</sup> 15 <sup>m</sup> 38 <sup>s</sup> 85	−68°54′31. $''$ 0	LMC_SC8	27	23	18	OGLE
LMC0272	5 <sup>h</sup> 15 <sup>m</sup> 39 <sup>s</sup> 48	−69°37′40. $''$ 1	LMC_SC8	14	11	18	BSDL1053

Table 3

continued

Name OGLE-CL-	$\alpha$ 2000	$\delta$ 2000	Field	$R$ [ $''$ ]	$R_{\text{core}}$ [ $''$ ]	N	Cross- -identifications
LMC0273	5 <sup>h</sup> 15 <sup>m</sup> 40 <sup>s</sup> .26	−69°16′50 $''$ .7	LMC_SC8	45	41	53	OGLE
LMC0274	5 <sup>h</sup> 15 <sup>m</sup> 40 <sup>s</sup> .46	−69°20′18 $''$ .2	LMC_SC8	13	12	32	H88-234
LMC0275	5 <sup>h</sup> 15 <sup>m</sup> 44 <sup>s</sup> .20	−69°32′25 $''$ .8	LMC_SC8	14	12	10	BSDL1056
LMC0276	5 <sup>h</sup> 15 <sup>m</sup> 46 <sup>s</sup> .50	−69°14′39 $''$ .2	LMC_SC8	18	14	33	H88-238
LMC0277	5 <sup>h</sup> 15 <sup>m</sup> 46 <sup>s</sup> .53	−69°11′30 $''$ .8	LMC_SC8	12	10	8	H88-235
LMC0278	5 <sup>h</sup> 15 <sup>m</sup> 52 <sup>s</sup> .01	−69°28′08 $''$ .2	LMC_SC8	31	29	176	NGC1894,SL344,ESO56SC89
LMC0279	5 <sup>h</sup> 15 <sup>m</sup> 54 <sup>s</sup> .81	−69°32′14 $''$ .2	LMC_SC8	13	11	5	BSDL1062
LMC0280	5 <sup>h</sup> 15 <sup>m</sup> 56 <sup>s</sup> .96	−69°27′16 $''$ .4	LMC_SC8	19	14	31	H88-236
LMC0281	5 <sup>h</sup> 16 <sup>m</sup> 01 <sup>s</sup> .40	−69°24′47 $''$ .3	LMC_SC8	41	35	103	BSDL1069
LMC0282	5 <sup>h</sup> 16 <sup>m</sup> 03 <sup>s</sup> .53	−69°06′09 $''$ .2	LMC_SC8	18	17	36	H88-240
LMC0283	5 <sup>h</sup> 16 <sup>m</sup> 12 <sup>s</sup> .32	−69°17′04 $''$ .3	LMC_SC8	22	16	70	H88-243
LMC0284	5 <sup>h</sup> 16 <sup>m</sup> 16 <sup>s</sup> .04	−69°26′19 $''$ .9	LMC_SC8	15	12	30	H88-242
LMC0285	5 <sup>h</sup> 16 <sup>m</sup> 16 <sup>s</sup> .84	−69°09′15 $''$ .2	LMC_SC8	11	8	16	H88-244
LMC0286 <sup>(1)</sup>	5 <sup>h</sup> 16 <sup>m</sup> 21 <sup>s</sup> .01	−69°32′31 $''$ .1	LMC_SC8	18	13	39	BSDL1086
LMC0287	5 <sup>h</sup> 16 <sup>m</sup> 21 <sup>s</sup> .88	−69°35′57 $''$ .3	LMC_SC8	21	18	23	BSDL1089
LMC0288	5 <sup>h</sup> 16 <sup>m</sup> 26 <sup>s</sup> .64	−69°04′49 $''$ .0	LMC_SC8	12	10	17	H88-245
LMC0289	5 <sup>h</sup> 16 <sup>m</sup> 26 <sup>s</sup> .92	−69°40′26 $''$ .9	LMC_SC8	11	8	6	BSDL1096
LMC0290	5 <sup>h</sup> 16 <sup>m</sup> 32 <sup>s</sup> .11	−68°55′07 $''$ .4	LMC_SC8	17	14	18	HS205
LMC0291 <sup>(2)</sup>	5 <sup>h</sup> 16 <sup>m</sup> 40 <sup>s</sup> .65	−69°01′39 $''$ .2	LMC_SC8	8	7	4	OGLE
LMC0292 <sup>(1),(2)</sup>	5 <sup>h</sup> 16 <sup>m</sup> 41 <sup>s</sup> .24	−69°39′24 $''$ .4	LMC_SC8	35	31	108	NGC1898,SL350,ESO56SC90
LMC0293 <sup>(2)</sup>	5 <sup>h</sup> 16 <sup>m</sup> 44 <sup>s</sup> .63	−69°27′42 $''$ .9	LMC_SC8	12	12	16	H88-247
LMC0294 <sup>(1)</sup>	5 <sup>h</sup> 16 <sup>m</sup> 48 <sup>s</sup> .94	−69°34′50 $''$ .0	LMC_SC8	16	14	24	BSDL1106
LMC0295	5 <sup>h</sup> 16 <sup>m</sup> 49 <sup>s</sup> .56	−69°29′50 $''$ .6	LMC_SC8	12	10	38	H88-250
LMC0296 <sup>(1)</sup>	5 <sup>h</sup> 16 <sup>m</sup> 50 <sup>s</sup> .15	−69°03′35 $''$ .0	LMC_SC8	11	10	27	H88-253
LMC0297	5 <sup>h</sup> 16 <sup>m</sup> 52 <sup>s</sup> .07	−69°04′13 $''$ .4	LMC_SC8	7	6	18	OGLE
LMC0298	5 <sup>h</sup> 16 <sup>m</sup> 52 <sup>s</sup> .88	−69°09′00 $''$ .0	LMC_SC8	12	10	7	OGLE
LMC0299	5 <sup>h</sup> 16 <sup>m</sup> 53 <sup>s</sup> .02	−69°25′11 $''$ .5	LMC_SC8	20	16	50	H88-251
LMC0300	5 <sup>h</sup> 16 <sup>m</sup> 53 <sup>s</sup> .42	−69°43′27 $''$ .0	LMC_SC8	11	10	7	OGLE
LMC0301 <sup>(1)</sup>	5 <sup>h</sup> 16 <sup>m</sup> 54 <sup>s</sup> .05	−69°34′56 $''$ .3	LMC_SC8	14	14	2	BSDL1109
LMC0302	5 <sup>h</sup> 16 <sup>m</sup> 54 <sup>s</sup> .41	−68°52′35 $''$ .8	LMC_SC8	20	19	121	SL349,BRHT33
LMC0303	5 <sup>h</sup> 16 <sup>m</sup> 55 <sup>s</sup> .59	−69°08′51 $''$ .2	LMC_SC8	30	25	19	OGLE
LMC0304	5 <sup>h</sup> 17 <sup>m</sup> 08 <sup>s</sup> .00	−68°52′23 $''$ .5	LMC_SC8	41	34	434	H1,SL353,BRHT33
LMC0305 <sup>(1)</sup>	5 <sup>h</sup> 17 <sup>m</sup> 14 <sup>s</sup> .76	−69°32′26 $''$ .3	LMC_SC8	39	36	12	H88-254
LMC0306	5 <sup>h</sup> 17 <sup>m</sup> 19 <sup>s</sup> .65	−69°09′25 $''$ .0	LMC_SC8	27	22	62	H88-259
LMC0307	5 <sup>h</sup> 17 <sup>m</sup> 19 <sup>s</sup> .96	−69°12′48 $''$ .5	LMC_SC8	18	16	59	H88-260
LMC0308	5 <sup>h</sup> 17 <sup>m</sup> 22 <sup>s</sup> .04	−69°03′21 $''$ .6	LMC_SC8	14	12	7	OGLE
LMC0309 <sup>(1)</sup>	5 <sup>h</sup> 17 <sup>m</sup> 22 <sup>s</sup> .39	−69°20′16 $''$ .2	LMC_SC8	49	43	377	NGC1903,SL356,ESO56SC93
LMC0310	5 <sup>h</sup> 17 <sup>m</sup> 25 <sup>s</sup> .62	−69°06′54 $''$ .5	LMC_SC8	39	33	125	H88-261
LMC0311	5 <sup>h</sup> 17 <sup>m</sup> 26 <sup>s</sup> .59	−69°22′31 $''$ .8	LMC_SC8	45	39	279	SL357,BRHT9
LMC0312	5 <sup>h</sup> 17 <sup>m</sup> 27 <sup>s</sup> .68	−69°21′22 $''$ .3	LMC_SC8	31	26	17	H88-255
LMC0313	5 <sup>h</sup> 17 <sup>m</sup> 29 <sup>s</sup> .24	−69°24′58 $''$ .0	LMC_SC8	11	11	6	OGLE
LMC0314	5 <sup>h</sup> 17 <sup>m</sup> 33 <sup>s</sup> .42	−69°30′53 $''$ .2	LMC_SC7	24	19	114	SL358
LMC0315	5 <sup>h</sup> 17 <sup>m</sup> 38 <sup>s</sup> .26	−68°58′21 $''$ .5	LMC_SC7	24	20	62	HS211
LMC0316 <sup>(1)</sup>	5 <sup>h</sup> 17 <sup>m</sup> 43 <sup>s</sup> .83	−69°34′06 $''$ .1	LMC_SC7	22	20	91	SL362
LMC0317 <sup>(1)</sup>	5 <sup>h</sup> 17 <sup>m</sup> 45 <sup>s</sup> .94	−69°34′24 $''$ .4	LMC_SC7	16	14	2	OGLE
LMC0318	5 <sup>h</sup> 17 <sup>m</sup> 48 <sup>s</sup> .65	−69°38′40 $''$ .5	LMC_SC7	43	35	411	H2,SL363
LMC0319	5 <sup>h</sup> 17 <sup>m</sup> 48 <sup>s</sup> .72	−69°24′36 $''$ .2	LMC_SC7	26	23	32	H88-263
LMC0320	5 <sup>h</sup> 17 <sup>m</sup> 49 <sup>s</sup> .82	−69°41′39 $''$ .5	LMC_SC7	10	8	30	BSDL1142
LMC0321	5 <sup>h</sup> 17 <sup>m</sup> 56 <sup>s</sup> .16	−69°34′52 $''$ .3	LMC_SC7	17	14	54	HS213
LMC0322	5 <sup>h</sup> 18 <sup>m</sup> 00 <sup>s</sup> .61	−69°08′00 $''$ .6	LMC_SC7	12	10	22	OGLE
LMC0323	5 <sup>h</sup> 18 <sup>m</sup> 05 <sup>s</sup> .10	−69°10′17 $''$ .8	LMC_SC7	24	14	59	H88-265
LMC0324	5 <sup>h</sup> 18 <sup>m</sup> 06 <sup>s</sup> .44	−69°31′46 $''$ .4	LMC_SC7	29	27	25	BSDL1160
LMC0325	5 <sup>h</sup> 18 <sup>m</sup> 07 <sup>s</sup> .93	−69°18′55 $''$ .4	LMC_SC7	31	27	68	HS216
LMC0326	5 <sup>h</sup> 18 <sup>m</sup> 10 <sup>s</sup> .51	−69°32′26 $''$ .8	LMC_SC7	14	12	23	BRHT10,H88-264
LMC0327	5 <sup>h</sup> 18 <sup>m</sup> 10 <sup>s</sup> .88	−69°16′52 $''$ .7	LMC_SC7	23	20	108	H88-266
LMC0328 <sup>(1)</sup>	5 <sup>h</sup> 18 <sup>m</sup> 11 <sup>s</sup> .41	−69°13′05 $''$ .7	LMC_SC7	32	27	70	SL360
LMC0329	5 <sup>h</sup> 18 <sup>m</sup> 18 <sup>s</sup> .05	−69°45′04 $''$ .9	LMC_SC7	18	15	12	BSDL1178
LMC0330 <sup>(1)</sup>	5 <sup>h</sup> 18 <sup>m</sup> 18 <sup>s</sup> .74	−69°32′14 $''$ .8	LMC_SC7	41	36	237	NGC1913,SL373,ESO56SC97
LMC0331	5 <sup>h</sup> 18 <sup>m</sup> 24 <sup>s</sup> .72	−69°29′05 $''$ .8	LMC_SC7	33	30	64	H88-268
LMC0332	5 <sup>h</sup> 18 <sup>m</sup> 25 <sup>s</sup> .56	−69°19′30 $''$ .2	LMC_SC7	32	25	107	HS218
LMC0333 <sup>(1)</sup>	5 <sup>h</sup> 18 <sup>m</sup> 28 <sup>s</sup> .89	−69°37′00 $''$ .1	LMC_SC7	39	36	30	HS219
LMC0334 <sup>(1)</sup>	5 <sup>h</sup> 18 <sup>m</sup> 31 <sup>s</sup> .19	−69°45′14 $''$ .6	LMC_SC7	24	18	9	BSDL1191
LMC0335	5 <sup>h</sup> 18 <sup>m</sup> 36 <sup>s</sup> .43	−69°02′23 $''$ .4	LMC_SC7	18	16	24	OGLE
LMC0336	5 <sup>h</sup> 18 <sup>m</sup> 37 <sup>s</sup> .87	−69°24′22 $''$ .9	LMC_SC7	62	49	1029	NGC1916,SL361,ESO56SC98
LMC0337	5 <sup>h</sup> 18 <sup>m</sup> 41 <sup>s</sup> .31	−69°04′46 $''$ .1	LMC_SC7	18	14	89	H88-269
LMC0338	5 <sup>h</sup> 18 <sup>m</sup> 42 <sup>s</sup> .53	−69°14′12 $''$ .3	LMC_SC7	46	41	36	NGC1910,SL371,ESO56SC99
LMC0339	5 <sup>h</sup> 18 <sup>m</sup> 43 <sup>s</sup> .42	−69°17′28 $''$ .9	LMC_SC7	14	12	37	OGLE
LMC0340	5 <sup>h</sup> 18 <sup>m</sup> 46 <sup>s</sup> .72	−69°13′32 $''$ .4	LMC_SC7	19	16	8	OGLE

Table 3

continued

Name OGLE-CL-	$\alpha_{2000}$	$\delta_{2000}$	Field	$R$ [ $''$ ]	$R_{\text{core}}$ [ $''$ ]	N	Cross- -identifications
LMC0341	5 <sup>h</sup> 18 <sup>m</sup> 51 <sup>s</sup> 25	−69°22′14. $''$ 1	LMC_SC7	30	25	102	HS223
LMC0342	5 <sup>h</sup> 18 <sup>m</sup> 53 <sup>s</sup> 28	−69°31′19. $''$ 3	LMC_SC7	24	18	43	OGLE
LMC0343	5 <sup>h</sup> 19 <sup>m</sup> 02 <sup>s</sup> 10	−69°00′03. $''$ 8	LMC_SC7	37	31	500	NGC1917,SL379,ESO56SC100
LMC0344	5 <sup>h</sup> 19 <sup>m</sup> 03 <sup>s</sup> 76	−69°11′36. $''$ 1	LMC_SC7	30	23	78	BSD11217
LMC0345	5 <sup>h</sup> 19 <sup>m</sup> 04 <sup>s</sup> 55	−69°48′38. $''$ 3	LMC_SC7	18	16	95	HS227
LMC0346 <sup>(2)</sup>	5 <sup>h</sup> 19 <sup>m</sup> 08 <sup>s</sup> 90	−69°15′36. $''$ 2	LMC_SC7	13	12	32	OGLE
LMC0347	5 <sup>h</sup> 19 <sup>m</sup> 18 <sup>s</sup> 99	−69°42′51. $''$ 1	LMC_SC7	14	12	74	KMK88-45
LMC0348 <sup>(2)</sup>	5 <sup>h</sup> 19 <sup>m</sup> 24 <sup>s</sup> 00	−69°47′16. $''$ 5	LMC_SC7	41	37	213	NGC1921,SL381,ESO56SC102
LMC0349 <sup>(1)</sup>	5 <sup>h</sup> 19 <sup>m</sup> 24 <sup>s</sup> 09	−69°39′01. $''$ 1	LMC_SC7	41	33	13	NGC1918,ESO56EN10
LMC0350 <sup>(1)</sup>	5 <sup>h</sup> 19 <sup>m</sup> 24 <sup>s</sup> 78	−69°19′18. $''$ 0	LMC_SC7	36	24	91	H88-273
LMC0351	5 <sup>h</sup> 19 <sup>m</sup> 25 <sup>s</sup> 74	−69°32′27. $''$ 1	LMC_SC7	33	27	122	SL385,BRHT35
LMC0352	5 <sup>h</sup> 19 <sup>m</sup> 33 <sup>s</sup> 20	−69°26′44. $''$ 5	LMC_SC7	18	14	51	BSD11255
LMC0353	5 <sup>h</sup> 19 <sup>m</sup> 33 <sup>s</sup> 88	−69°32′31. $''$ 9	LMC_SC7	26	18	182	SL387,BRHT35
LMC0354 <sup>(1)</sup>	5 <sup>h</sup> 19 <sup>m</sup> 49 <sup>s</sup> 29	−69°29′41. $''$ 7	LMC_SC7	31	23	13	NGC1922,SL391
LMC0355 <sup>(1)</sup>	5 <sup>h</sup> 19 <sup>m</sup> 49 <sup>s</sup> 52	−69°26′56. $''$ 5	LMC_SC7	30	27	9	SL393,ESO56SC103
LMC0356	5 <sup>h</sup> 19 <sup>m</sup> 54 <sup>s</sup> 37	−68°57′52. $''$ 7	LMC_SC7	30	25	194	SL390
LMC0357	5 <sup>h</sup> 19 <sup>m</sup> 56 <sup>s</sup> 81	−69°39′55. $''$ 7	LMC_SC7	36	31	162	OGLE
LMC0358	5 <sup>h</sup> 19 <sup>m</sup> 57 <sup>s</sup> 35	−69°41′27. $''$ 6	LMC_SC7	16	14	25	KMK88-47
LMC0359	5 <sup>h</sup> 19 <sup>m</sup> 57 <sup>s</sup> 48	−69°25′02. $''$ 8	LMC_SC7	18	12	32	H88-278
LMC0360	5 <sup>h</sup> 19 <sup>m</sup> 59 <sup>s</sup> 59	−70°39′54. $''$ 6	LMC_SC21	17	11	35	SL395,KMHK793
LMC0361	5 <sup>h</sup> 20 <sup>m</sup> 02 <sup>s</sup> 05	−69°15′39. $''$ 6	LMC_SC7	10	10	26	H88-279
LMC0362	5 <sup>h</sup> 20 <sup>m</sup> 03 <sup>s</sup> 01	−69°23′59. $''$ 1	LMC_SC7	11	10	11	OGLE
LMC0363	5 <sup>h</sup> 20 <sup>m</sup> 04 <sup>s</sup> 43	−69°15′54. $''$ 6	LMC_SC7	9	8	14	OGLE
LMC0364	5 <sup>h</sup> 20 <sup>m</sup> 05 <sup>s</sup> 81	−69°44′49. $''$ 7	LMC_SC6	18	18	4	OGLE
LMC0365	5 <sup>h</sup> 20 <sup>m</sup> 08 <sup>s</sup> 04	−70°09′15. $''$ 0	LMC_SC21	10	8	26	HS238
LMC0366	5 <sup>h</sup> 20 <sup>m</sup> 08 <sup>s</sup> 08	−70°08′34. $''$ 0	LMC_SC21	10	7	16	OGLE
LMC0367	5 <sup>h</sup> 20 <sup>m</sup> 15 <sup>s</sup> 93	−69°20′24. $''$ 8	LMC_SC6	14	12	11	OGLE
LMC0368	5 <sup>h</sup> 20 <sup>m</sup> 20 <sup>s</sup> 91	−70°46′06. $''$ 2	LMC_SC21	18	12	71	SL399,KMHK799
LMC0369	5 <sup>h</sup> 20 <sup>m</sup> 23 <sup>s</sup> 57	−69°35′03. $''$ 1	LMC_SC6	28	23	86	SL402
LMC0370	5 <sup>h</sup> 20 <sup>m</sup> 25 <sup>s</sup> 45	−69°21′18. $''$ 1	LMC_SC6	20	16	32	OGLE
LMC0371	5 <sup>h</sup> 20 <sup>m</sup> 25 <sup>s</sup> 83	−69°34′12. $''$ 7	LMC_SC6	26	20	14	H88-283
LMC0372	5 <sup>h</sup> 20 <sup>m</sup> 27 <sup>s</sup> 62	−69°21′53. $''$ 3	LMC_SC6	20	17	3	OGLE
LMC0373	5 <sup>h</sup> 20 <sup>m</sup> 27 <sup>s</sup> 71	−70°27′00. $''$ 0	LMC_SC21	15	13	26	KMHK801
LMC0374	5 <sup>h</sup> 20 <sup>m</sup> 29 <sup>s</sup> 05	−69°44′59. $''$ 5	LMC_SC6	10	8	23	BSD11299
LMC0375 <sup>(1)</sup>	5 <sup>h</sup> 20 <sup>m</sup> 30 <sup>s</sup> 61	−69°32′09. $''$ 0	LMC_SC6	31	31	94	OGLE
LMC0376	5 <sup>h</sup> 20 <sup>m</sup> 34 <sup>s</sup> 23	−69°38′18. $''$ 2	LMC_SC6	22	19	34	HS241
LMC0377	5 <sup>h</sup> 20 <sup>m</sup> 34 <sup>s</sup> 71	−70°00′53. $''$ 0	LMC_SC6	16	14	58	HS242
LMC0378	5 <sup>h</sup> 20 <sup>m</sup> 35 <sup>s</sup> 06	−69°41′19. $''$ 4	LMC_SC6	18	14	47	KMK88-48
LMC0379	5 <sup>h</sup> 20 <sup>m</sup> 35 <sup>s</sup> 42	−69°31′32. $''$ 9	LMC_SC6	27	25	239	NGC1926,SL403,ESO56SC105
LMC0380	5 <sup>h</sup> 20 <sup>m</sup> 37 <sup>s</sup> 00	−70°57′51. $''$ 7	LMC_SC21	9	8	13	HS232,KMHK805
LMC0381	5 <sup>h</sup> 20 <sup>m</sup> 48 <sup>s</sup> 15	−69°24′55. $''$ 2	LMC_SC6	16	15	6	H88-284
LMC0382	5 <sup>h</sup> 20 <sup>m</sup> 57 <sup>s</sup> 73	−69°28′40. $''$ 2	LMC_SC6	31	27	225	NGC1928,SL405,HS243
LMC0383	5 <sup>h</sup> 20 <sup>m</sup> 59 <sup>s</sup> 72	−69°29′44. $''$ 8	LMC_SC6	11	9	4	OGLE
LMC0384	5 <sup>h</sup> 21 <sup>m</sup> 00 <sup>s</sup> 04	−70°18′57. $''$ 4	LMC_SC21	12	11	23	BSD11341
LMC0385	5 <sup>h</sup> 21 <sup>m</sup> 01 <sup>s</sup> 62	−69°23′22. $''$ 6	LMC_SC6	20	16	26	BSD11323
LMC0386	5 <sup>h</sup> 21 <sup>m</sup> 02 <sup>s</sup> 07	−70°52′24. $''$ 1	LMC_SC21	15	11	34	SL406,KMHK814
LMC0387	5 <sup>h</sup> 21 <sup>m</sup> 05 <sup>s</sup> 47	−70°02′45. $''$ 3	LMC_SC6	12	12	18	BSD11335
LMC0388	5 <sup>h</sup> 21 <sup>m</sup> 09 <sup>s</sup> 93	−69°50′36. $''$ 4	LMC_SC6	12	9	33	BSD11340
LMC0389	5 <sup>h</sup> 21 <sup>m</sup> 10 <sup>s</sup> 93	−69°56′36. $''$ 8	LMC_SC6	16	12	32	KMK88-49
LMC0390 <sup>(1)</sup>	5 <sup>h</sup> 21 <sup>m</sup> 18 <sup>s</sup> 65	−69°28′35. $''$ 7	LMC_SC6	17	16	72	OGLE
LMC0391	5 <sup>h</sup> 21 <sup>m</sup> 21 <sup>s</sup> 69	−70°54′01. $''$ 0	LMC_SC21	17	14	27	BSD11355
LMC0392	5 <sup>h</sup> 21 <sup>m</sup> 22 <sup>s</sup> 77	−69°54′33. $''$ 5	LMC_SC6	12	10	39	KMK88-50
LMC0393	5 <sup>h</sup> 21 <sup>m</sup> 23 <sup>s</sup> 54	−69°29′26. $''$ 6	LMC_SC6	18	18	4	OGLE
LMC0394	5 <sup>h</sup> 21 <sup>m</sup> 24 <sup>s</sup> 45	−69°56′27. $''$ 5	LMC_SC6	25	24	310	NGC1938,SL413,ESO56SC108
LMC0395	5 <sup>h</sup> 21 <sup>m</sup> 26 <sup>s</sup> 82	−69°56′59. $''$ 0	LMC_SC6	30	25	403	NGC1939,SL414,ESO56SC108
LMC0396	5 <sup>h</sup> 21 <sup>m</sup> 29 <sup>s</sup> 91	−69°49′43. $''$ 0	LMC_SC6	30	19	118	SL412
LMC0397	5 <sup>h</sup> 21 <sup>m</sup> 30 <sup>s</sup> 04	−69°25′54. $''$ 6	LMC_SC6	11	10	13	BCD1
LMC0398	5 <sup>h</sup> 21 <sup>m</sup> 35 <sup>s</sup> 12	−69°40′20. $''$ 8	LMC_SC6	18	18	24	HS248
LMC0399 <sup>(2)</sup>	5 <sup>h</sup> 21 <sup>m</sup> 47 <sup>s</sup> 36	−69°24′59. $''$ 8	LMC_SC6	14	12	17	OGLE
LMC0400 <sup>(2)</sup>	5 <sup>h</sup> 21 <sup>m</sup> 49 <sup>s</sup> 43	−69°39′06. $''$ 0	LMC_SC6	30	23	164	SL418
LMC0401 <sup>(2)</sup>	5 <sup>h</sup> 21 <sup>m</sup> 49 <sup>s</sup> 94	−69°50′11. $''$ 5	LMC_SC6	37	34	16	HS252
LMC0402	5 <sup>h</sup> 21 <sup>m</sup> 57 <sup>s</sup> 00	−69°36′39. $''$ 0	LMC_SC6	12	8	25	OGLE
LMC0403	5 <sup>h</sup> 22 <sup>m</sup> 03 <sup>s</sup> 23	−70°02′44. $''$ 3	LMC_SC6	12	11	58	HS253
LMC0404	5 <sup>h</sup> 22 <sup>m</sup> 03 <sup>s</sup> 30	−69°15′17. $''$ 9	LMC_SC6	24	16	108	SL419
LMC0405	5 <sup>h</sup> 22 <sup>m</sup> 06 <sup>s</sup> 85	−69°14′44. $''$ 7	LMC_SC6	14	12	35	H88-293
LMC0406 <sup>(1)</sup>	5 <sup>h</sup> 22 <sup>m</sup> 08 <sup>s</sup> 30	−69°34′38. $''$ 9	LMC_SC6	27	24	26	OGLE
LMC0407	5 <sup>h</sup> 22 <sup>m</sup> 14 <sup>s</sup> 67	−69°30′40. $''$ 7	LMC_SC6	40	35	195	SL423
LMC0408	5 <sup>h</sup> 22 <sup>m</sup> 26 <sup>s</sup> 26	−69°29′53. $''$ 5	LMC_SC6	35	29	87	OGLE

Table 3

continued

Name OGLE-CL-	$\alpha$ 2000	$\delta$ 2000	Field	$R$ [ $''$ ]	$R_{\text{core}}$ [ $''$ ]	N	Cross- -identifications
LMC0409	5 <sup>h</sup> 22 <sup>m</sup> 27 <sup>s</sup> .28	−69°44′43. $''$ 0	LMC_SC6	24	18	64	BRHT50
LMC0410	5 <sup>h</sup> 22 <sup>m</sup> 27 <sup>s</sup> .68	−69°53′16. $''$ 4	LMC_SC6	41	31	83	OGLE
LMC0411	5 <sup>h</sup> 22 <sup>m</sup> 29 <sup>s</sup> .67	−70°09′17. $''$ 0	LMC_SC21	30	25	259	NGC1943,SL430,ESO56SC114
LMC0412	5 <sup>h</sup> 22 <sup>m</sup> 32 <sup>s</sup> .79	−69°33′02. $''$ 0	LMC_SC6	23	23	88	OGLE
LMC0413	5 <sup>h</sup> 22 <sup>m</sup> 37 <sup>s</sup> .90	−69°44′39. $''$ 9	LMC_SC5	22	18	28	HS255,BRHT50
LMC0414	5 <sup>h</sup> 22 <sup>m</sup> 45 <sup>s</sup> .25	−69°54′06. $''$ 6	LMC_SC5	14	12	18	OGLE
LMC0415	5 <sup>h</sup> 22 <sup>m</sup> 57 <sup>s</sup> .78	−69°37′30. $''$ 7	LMC_SC5	14	11	33	HS261
LMC0416	5 <sup>h</sup> 23 <sup>m</sup> 10 <sup>s</sup> .33	−69°52′01. $''$ 4	LMC_SC5	20	17	94	HS263
LMC0417	5 <sup>h</sup> 23 <sup>m</sup> 12 <sup>s</sup> .94	−69°49′23. $''$ 0	LMC_SC5	22	17	60	BSDL1491
LMC0418	5 <sup>h</sup> 23 <sup>m</sup> 19 <sup>s</sup> .32	−69°49′46. $''$ 5	LMC_SC5	16	14	29	OGLE
LMC0419	5 <sup>h</sup> 23 <sup>m</sup> 25 <sup>s</sup> .24	−69°50′07. $''$ 1	LMC_SC5	26	23	62	HS266
LMC0420	5 <sup>h</sup> 23 <sup>m</sup> 27 <sup>s</sup> .48	−69°45′06. $''$ 4	LMC_SC5	17	15	61	HS268
LMC0421	5 <sup>h</sup> 23 <sup>m</sup> 31 <sup>s</sup> .07	−69°46′36. $''$ 8	LMC_SC5	30	23	42	OGLE
LMC0422	5 <sup>h</sup> 23 <sup>m</sup> 32 <sup>s</sup> .17	−69°54′14. $''$ 0	LMC_SC5	11	8	30	BSDL1511
LMC0423	5 <sup>h</sup> 23 <sup>m</sup> 32 <sup>s</sup> .83	−69°20′33. $''$ 9	LMC_SC5	29	20	49	OGLE
LMC0424	5 <sup>h</sup> 23 <sup>m</sup> 35 <sup>s</sup> .48	−69°54′17. $''$ 7	LMC_SC5	10	8	8	BSDL1516
LMC0425	5 <sup>h</sup> 23 <sup>m</sup> 36 <sup>s</sup> .75	−69°49′18. $''$ 7	LMC_SC5	30	25	25	OGLE
LMC0426	5 <sup>h</sup> 23 <sup>m</sup> 39 <sup>s</sup> .33	−69°14′42. $''$ 4	LMC_SC5	34	33	80	OGLE
LMC0427	5 <sup>h</sup> 23 <sup>m</sup> 47 <sup>s</sup> .00	−69°17′22. $''$ 0	LMC_SC5	10	8	3	OGLE
LMC0428	5 <sup>h</sup> 23 <sup>m</sup> 58 <sup>s</sup> .40	−69°57′25. $''$ 5	LMC_SC5	10	8	15	OGLE
LMC0429	5 <sup>h</sup> 24 <sup>m</sup> 06 <sup>s</sup> .96	−69°44′26. $''$ 7	LMC_SC5	14	10	10	OGLE
LMC0430 <sup>(1),(2)</sup>	5 <sup>h</sup> 24 <sup>m</sup> 16 <sup>s</sup> .37	−69°39′12. $''$ 9	LMC_SC5	12	10	6	OGLE
LMC0431	5 <sup>h</sup> 24 <sup>m</sup> 20 <sup>s</sup> .42	−69°46′26. $''$ 4	LMC_SC5	19	16	76	HS275
LMC0432	5 <sup>h</sup> 24 <sup>m</sup> 21 <sup>s</sup> .11	−69°57′55. $''$ 0	LMC_SC5	24	19	54	SL443
LMC0433 <sup>(1)</sup>	5 <sup>h</sup> 24 <sup>m</sup> 21 <sup>s</sup> .58	−69°38′28. $''$ 9	LMC_SC5	11	10	12	OGLE
LMC0434	5 <sup>h</sup> 24 <sup>m</sup> 23 <sup>s</sup> .94	−69°46′47. $''$ 5	LMC_SC5	10	8	1	OGLE
LMC0435	5 <sup>h</sup> 24 <sup>m</sup> 32 <sup>s</sup> .87	−69°49′46. $''$ 7	LMC_SC5	11	8	2	OGLE
LMC0436	5 <sup>h</sup> 24 <sup>m</sup> 33 <sup>s</sup> .04	−69°54′04. $''$ 3	LMC_SC5	44	40	290	NGC1950,SL450,ESO56SC116
LMC0437	5 <sup>h</sup> 24 <sup>m</sup> 33 <sup>s</sup> .45	−69°55′26. $''$ 9	LMC_SC5	14	12	7	OGLE
LMC0438	5 <sup>h</sup> 24 <sup>m</sup> 33 <sup>s</sup> .50	−69°44′43. $''$ 1	LMC_SC5	36	31	126	SL449
LMC0439	5 <sup>h</sup> 24 <sup>m</sup> 41 <sup>s</sup> .16	−69°41′34. $''$ 2	LMC_SC5	11	10	12	OGLE
LMC0440	5 <sup>h</sup> 24 <sup>m</sup> 41 <sup>s</sup> .59	−69°53′10. $''$ 8	LMC_SC5	21	20	45	BSDL1576
LMC0441	5 <sup>h</sup> 24 <sup>m</sup> 52 <sup>s</sup> .46	−69°50′36. $''$ 7	LMC_SC5	11	10	3	OGLE
LMC0442	5 <sup>h</sup> 24 <sup>m</sup> 53 <sup>s</sup> .02	−69°49′47. $''$ 2	LMC_SC5	29	23	80	HS280
LMC0443	5 <sup>h</sup> 24 <sup>m</sup> 55 <sup>s</sup> .33	−69°50′13. $''$ 9	LMC_SC5	22	18	26	OGLE
LMC0444	5 <sup>h</sup> 24 <sup>m</sup> 55 <sup>s</sup> .46	−69°51′46. $''$ 0	LMC_SC5	14	11	3	BSDL1592
LMC0445	5 <sup>h</sup> 24 <sup>m</sup> 56 <sup>s</sup> .68	−69°25′29. $''$ 3	LMC_SC5	18	16	22	BSDL1588
LMC0446 <sup>(2)</sup>	5 <sup>h</sup> 25 <sup>m</sup> 01 <sup>s</sup> .13	−69°26′03. $''$ 1	LMC_SC5	35	28	250	SL453
LMC0447	5 <sup>h</sup> 25 <sup>m</sup> 03 <sup>s</sup> .54	−69°52′12. $''$ 7	LMC_SC4	12	10	15	OGLE
LMC0448 <sup>(2)</sup>	5 <sup>h</sup> 25 <sup>m</sup> 04 <sup>s</sup> .69	−69°44′14. $''$ 3	LMC_SC5	20	16	93	OGLE
LMC0449	5 <sup>h</sup> 25 <sup>m</sup> 05 <sup>s</sup> .90	−69°52′27. $''$ 2	LMC_SC4	36	31	87	BSDL1597
LMC0450	5 <sup>h</sup> 25 <sup>m</sup> 06 <sup>s</sup> .87	−69°42′56. $''$ 3	LMC_SC4	20	14	60	BSDL1601
LMC0451	5 <sup>h</sup> 25 <sup>m</sup> 14 <sup>s</sup> .78	−70°05′57. $''$ 3	LMC_SC4	12	10	22	HS282
LMC0452	5 <sup>h</sup> 25 <sup>m</sup> 17 <sup>s</sup> .64	−69°32′23. $''$ 0	LMC_SC4	14	11	4	BSDL1608
LMC0453	5 <sup>h</sup> 25 <sup>m</sup> 22 <sup>s</sup> .80	−69°26′23. $''$ 3	LMC_SC4	12	8	15	OGLE
LMC0454	5 <sup>h</sup> 25 <sup>m</sup> 23 <sup>s</sup> .00	−69°47′07. $''$ 0	LMC_SC4	16	16	2	BSDL1614
LMC0455	5 <sup>h</sup> 25 <sup>m</sup> 25 <sup>s</sup> .61	−69°35′54. $''$ 1	LMC_SC4	37	33	3	OGLE
LMC0456	5 <sup>h</sup> 25 <sup>m</sup> 28 <sup>s</sup> .00	−69°46′31. $''$ 6	LMC_SC4	21	18	50	SL460
LMC0457	5 <sup>h</sup> 25 <sup>m</sup> 30 <sup>s</sup> .72	−69°50′09. $''$ 6	LMC_SC4	37	29	198	NGC1958,SL462,ESO56SC119
LMC0458	5 <sup>h</sup> 25 <sup>m</sup> 32 <sup>s</sup> .46	−69°33′15. $''$ 1	LMC_SC4	34	24	69	BSDL1636
LMC0459	5 <sup>h</sup> 25 <sup>m</sup> 35 <sup>s</sup> .72	−69°55′35. $''$ 6	LMC_SC4	33	23	236	NGC1959,SL466,ESO56SC120
LMC0460	5 <sup>h</sup> 25 <sup>m</sup> 38 <sup>s</sup> .18	−70°15′42. $''$ 2	LMC_SC4	14	12	35	HS286
LMC0461	5 <sup>h</sup> 25 <sup>m</sup> 38 <sup>s</sup> .49	−69°49′30. $''$ 8	LMC_SC4	30	27	5	BSDL1647
LMC0462	5 <sup>h</sup> 25 <sup>m</sup> 39 <sup>s</sup> .79	−69°42′49. $''$ 8	LMC_SC4	35	25	218	HS285
LMC0463	5 <sup>h</sup> 25 <sup>m</sup> 49 <sup>s</sup> .91	−69°38′28. $''$ 2	LMC_SC4	14	13	10	HS290
LMC0464	5 <sup>h</sup> 25 <sup>m</sup> 53 <sup>s</sup> .25	−69°56′38. $''$ 5	LMC_SC4	27	24	78	HS291
LMC0465 <sup>(1)</sup>	5 <sup>h</sup> 25 <sup>m</sup> 53 <sup>s</sup> .77	−69°46′13. $''$ 5	LMC_SC4	20	18	5	OGLE
LMC0466	5 <sup>h</sup> 25 <sup>m</sup> 54 <sup>s</sup> .88	−69°54′55. $''$ 7	LMC_SC4	16	14	13	OGLE
LMC0467	5 <sup>h</sup> 25 <sup>m</sup> 57 <sup>s</sup> .30	−69°45′03. $''$ 9	LMC_SC4	22	18	83	SL469
LMC0468	5 <sup>h</sup> 26 <sup>m</sup> 01 <sup>s</sup> .94	−69°30′20. $''$ 6	LMC_SC4	29	16	158	SL468
LMC0469	5 <sup>h</sup> 26 <sup>m</sup> 05 <sup>s</sup> .49	−70°05′34. $''$ 3	LMC_SC4	19	18	50	HS295
LMC0470	5 <sup>h</sup> 26 <sup>m</sup> 14 <sup>s</sup> .40	−69°33′57. $''$ 1	LMC_SC4	16	14	16	BSDL1707
LMC0471	5 <sup>h</sup> 26 <sup>m</sup> 17 <sup>s</sup> .43	−70°13′16. $''$ 4	LMC_SC4	24	23	19	OGLE
LMC0472 <sup>(1)</sup>	5 <sup>h</sup> 26 <sup>m</sup> 19 <sup>s</sup> .41	−69°30′06. $''$ 3	LMC_SC4	18	14	3	HS298
LMC0473	5 <sup>h</sup> 26 <sup>m</sup> 23 <sup>s</sup> .96	−69°43′50. $''$ 9	LMC_SC4	24	18	87	BSDL1723
LMC0474	5 <sup>h</sup> 26 <sup>m</sup> 24 <sup>s</sup> .98	−69°40′57. $''$ 8	LMC_SC4	17	14	1	OGLE
LMC0475	5 <sup>h</sup> 26 <sup>m</sup> 30 <sup>s</sup> .13	−69°47′26. $''$ 0	LMC_SC4	12	10	10	OGLE
LMC0476	5 <sup>h</sup> 26 <sup>m</sup> 33 <sup>s</sup> .08	−69°48′12. $''$ 0	LMC_SC4	23	18	69	KMK88-56

Table 3

continued

Name OGLE-CL-	$\alpha$ 2000	$\delta$ 2000	Field	$R$ [ $''$ ]	$R_{\text{core}}$ [ $''$ ]	N	Cross- -identifications
LMC0477 <sup>(2)</sup>	5 <sup>h</sup> 26 <sup>m</sup> 34 <sup>s</sup> .11	−69° 50′ 26. $''$ 7	LMC_SC4	37	32	176	NGC1969,SL479,ESO56SC124
LMC0478 <sup>(2)</sup>	5 <sup>h</sup> 26 <sup>m</sup> 35 <sup>s</sup> .30	−69° 49′ 23. $''$ 1	LMC_SC4	30	24	6	OGLE
LMC0479	5 <sup>h</sup> 26 <sup>m</sup> 35 <sup>s</sup> .88	−69° 36′ 52. $''$ 6	LMC_SC4	23	20	34	HS301
LMC0480 <sup>(2)</sup>	5 <sup>h</sup> 26 <sup>m</sup> 45 <sup>s</sup> .58	−69° 51′ 03. $''$ 2	LMC_SC4	31	29	127	NGC1971,SL481,ESO56SC128
LMC0481 <sup>(2)</sup>	5 <sup>h</sup> 26 <sup>m</sup> 48 <sup>s</sup> .80	−69° 50′ 17. $''$ 2	LMC_SC4	29	25	18	NGC1972,SL480,ESO56SC129
LMC0482	5 <sup>h</sup> 26 <sup>m</sup> 52 <sup>s</sup> .66	−69° 46′ 03. $''$ 0	LMC_SC4	22	19	32	BSDL1768
LMC0483	5 <sup>h</sup> 26 <sup>m</sup> 53 <sup>s</sup> .23	−69° 48′ 53. $''$ 5	LMC_SC4	18	12	57	KMK88-57
LMC0484 <sup>(1),(2)</sup>	5 <sup>h</sup> 26 <sup>m</sup> 53 <sup>s</sup> .23	−70° 12′ 33. $''$ 2	LMC_SC4	38	33	34	BSDL1790
LMC0485	5 <sup>h</sup> 27 <sup>m</sup> 00 <sup>s</sup> .68	−69° 46′ 37. $''$ 5	LMC_SC4	25	21	34	BSDL1772
LMC0486	5 <sup>h</sup> 27 <sup>m</sup> 00 <sup>s</sup> .70	−69° 42′ 37. $''$ 9	LMC_SC4	25	20	41	BSDL1778
LMC0487	5 <sup>h</sup> 27 <sup>m</sup> 04 <sup>s</sup> .27	−69° 51′ 51. $''$ 5	LMC_SC4	37	33	15	BSDL1785
LMC0488	5 <sup>h</sup> 27 <sup>m</sup> 07 <sup>s</sup> .14	−69° 30′ 55. $''$ 2	LMC_SC4	18	14	35	BSDL1784
LMC0489	5 <sup>h</sup> 27 <sup>m</sup> 10 <sup>s</sup> .72	−69° 22′ 31. $''$ 4	LMC_SC4	10	8	2	BSDL1789
LMC0490	5 <sup>h</sup> 27 <sup>m</sup> 21 <sup>s</sup> .23	−70° 00′ 41. $''$ 3	LMC_SC4	20	16	29	HS306
LMC0491	5 <sup>h</sup> 27 <sup>m</sup> 22 <sup>s</sup> .39	−69° 52′ 12. $''$ 7	LMC_SC4	25	25	27	BSDL1807
LMC0492 <sup>(2)</sup>	5 <sup>h</sup> 27 <sup>m</sup> 29 <sup>s</sup> .10	−69° 50′ 16. $''$ 2	LMC_SC3	14	14	33	OGLE
LMC0493	5 <sup>h</sup> 27 <sup>m</sup> 29 <sup>s</sup> .70	−69° 29′ 24. $''$ 3	LMC_SC4	13	12	29	BSDL1805
LMC0494	5 <sup>h</sup> 27 <sup>m</sup> 33 <sup>s</sup> .82	−70° 01′ 45. $''$ 8	LMC_SC4	16	13	15	OGLE
LMC0495 <sup>(2)</sup>	5 <sup>h</sup> 27 <sup>m</sup> 35 <sup>s</sup> .63	−69° 53′ 49. $''$ 6	LMC_SC4	19	15	12	BSDL1821
LMC0496	5 <sup>h</sup> 27 <sup>m</sup> 37 <sup>s</sup> .68	−69° 58′ 13. $''$ 9	LMC_SC3	49	41	465	NGC1986,SL489,ESO56SC134
LMC0497	5 <sup>h</sup> 27 <sup>m</sup> 47 <sup>s</sup> .58	−69° 53′ 29. $''$ 8	LMC_SC3	24	19	99	HS307
LMC0498	5 <sup>h</sup> 27 <sup>m</sup> 59 <sup>s</sup> .81	−69° 55′ 50. $''$ 4	LMC_SC3	14	12	14	BSDL1858
LMC0499 <sup>(2)</sup>	5 <sup>h</sup> 28 <sup>m</sup> 03 <sup>s</sup> .80	−69° 45′ 54. $''$ 6	LMC_SC3	18	12	41	BSDL1861
LMC0500	5 <sup>h</sup> 28 <sup>m</sup> 05 <sup>s</sup> .10	−69° 59′ 16. $''$ 7	LMC_SC3	12	10	26	HS310
LMC0501	5 <sup>h</sup> 28 <sup>m</sup> 06 <sup>s</sup> .85	−70° 00′ 08. $''$ 7	LMC_SC3	12	10	9	KMK88-58
LMC0502	5 <sup>h</sup> 28 <sup>m</sup> 10 <sup>s</sup> .02	−69° 51′ 29. $''$ 2	LMC_SC3	25	19	49	BSDL1874
LMC0503 <sup>(1)</sup>	5 <sup>h</sup> 28 <sup>m</sup> 16 <sup>s</sup> .16	−69° 27′ 23. $''$ 0	LMC_SC3	23	18	76	HS316
LMC0504 <sup>(1)</sup>	5 <sup>h</sup> 28 <sup>m</sup> 25 <sup>s</sup> .20	−69° 57′ 12. $''$ 0	LMC_SC3	25	25	36	BSDL1896
LMC0505	5 <sup>h</sup> 28 <sup>m</sup> 26 <sup>s</sup> .78	−69° 46′ 05. $''$ 3	LMC_SC3	15	12	27	BSDL1892
LMC0506	5 <sup>h</sup> 28 <sup>m</sup> 27 <sup>s</sup> .77	−69° 53′ 48. $''$ 5	LMC_SC3	25	20	55	OGLE
LMC0507	5 <sup>h</sup> 28 <sup>m</sup> 31 <sup>s</sup> .72	−69° 50′ 32. $''$ 1	LMC_SC3	16	12	52	BSDL1897
LMC0508	5 <sup>h</sup> 28 <sup>m</sup> 35 <sup>s</sup> .65	−69° 36′ 39. $''$ 0	LMC_SC3	25	23	99	HS320
LMC0509	5 <sup>h</sup> 28 <sup>m</sup> 40 <sup>s</sup> .97	−69° 49′ 51. $''$ 0	LMC_SC3	12	10	3	BSDL1906
LMC0510	5 <sup>h</sup> 28 <sup>m</sup> 41 <sup>s</sup> .10	−69° 57′ 13. $''$ 0	LMC_SC3	20	18	38	BSDL1908
LMC0511	5 <sup>h</sup> 28 <sup>m</sup> 42 <sup>s</sup> .33	−69° 46′ 06. $''$ 4	LMC_SC3	31	21	40	SL504
LMC0512	5 <sup>h</sup> 28 <sup>m</sup> 44 <sup>s</sup> .44	−69° 50′ 04. $''$ 9	LMC_SC3	19	18	59	SL504,HS321
LMC0513 <sup>(1)</sup>	5 <sup>h</sup> 28 <sup>m</sup> 51 <sup>s</sup> .13	−70° 00′ 41. $''$ 8	LMC_SC3	30	24	46	OGLE
LMC0514	5 <sup>h</sup> 28 <sup>m</sup> 54 <sup>s</sup> .11	−70° 04′ 19. $''$ 4	LMC_SC3	12	10	19	BSDL1920
LMC0515 <sup>(1)</sup>	5 <sup>h</sup> 28 <sup>m</sup> 54 <sup>s</sup> .32	−70° 12′ 18. $''$ 2	LMC_SC3	25	25	71	HS323
LMC0516 <sup>(2)</sup>	5 <sup>h</sup> 29 <sup>m</sup> 05 <sup>s</sup> .96	−69° 48′ 30. $''$ 0	LMC_SC3	31	27	106	BSDL1928
LMC0517	5 <sup>h</sup> 29 <sup>m</sup> 18 <sup>s</sup> .80	−69° 54′ 52. $''$ 5	LMC_SC3	16	14	40	HS327
LMC0518 <sup>(2)</sup>	5 <sup>h</sup> 29 <sup>m</sup> 19 <sup>s</sup> .93	−69° 35′ 56. $''$ 5	LMC_SC3	31	26	158	SL508
LMC0519	5 <sup>h</sup> 29 <sup>m</sup> 23 <sup>s</sup> .98	−70° 14′ 12. $''$ 0	LMC_SC3	25	23	71	BSDL1949
LMC0520	5 <sup>h</sup> 29 <sup>m</sup> 24 <sup>s</sup> .59	−69° 55′ 11. $''$ 8	LMC_SC3	18	16	33	KMK88-59
LMC0521 <sup>(1)</sup>	5 <sup>h</sup> 29 <sup>m</sup> 27 <sup>s</sup> .00	−69° 47′ 06. $''$ 4	LMC_SC3	11	10	23	BSDL1945
LMC0522	5 <sup>h</sup> 29 <sup>m</sup> 31 <sup>s</sup> .56	−70° 04′ 04. $''$ 8	LMC_SC3	39	37	43	BSDL1959
LMC0523	5 <sup>h</sup> 29 <sup>m</sup> 32 <sup>s</sup> .79	−69° 32′ 33. $''$ 6	LMC_SC3	14	11	18	HS328
LMC0524 <sup>(1)</sup>	5 <sup>h</sup> 29 <sup>m</sup> 33 <sup>s</sup> .67	−69° 23′ 22. $''$ 0	LMC_SC3	27	25	47	BSDL1951
LMC0525	5 <sup>h</sup> 29 <sup>m</sup> 34 <sup>s</sup> .59	−69° 46′ 32. $''$ 8	LMC_SC3	20	18	42	SL514
LMC0526	5 <sup>h</sup> 29 <sup>m</sup> 34 <sup>s</sup> .81	−69° 58′ 31. $''$ 6	LMC_SC3	14	11	32	BSDL1961
LMC0527	5 <sup>h</sup> 29 <sup>m</sup> 37 <sup>s</sup> .82	−70° 00′ 45. $''$ 0	LMC_SC3	36	31	19	BSDL1962
LMC0528	5 <sup>h</sup> 29 <sup>m</sup> 53 <sup>s</sup> .51	−69° 53′ 23. $''$ 0	LMC_SC3	17	16	38	HS331
LMC0529	5 <sup>h</sup> 29 <sup>m</sup> 59 <sup>s</sup> .77	−70° 03′ 41. $''$ 6	LMC_SC3	12	10	30	BSDL2002
LMC0530	5 <sup>h</sup> 29 <sup>m</sup> 59 <sup>s</sup> .95	−69° 31′ 21. $''$ 3	LMC_SC3	12	10	24	OGLE
LMC0531	5 <sup>h</sup> 30 <sup>m</sup> 00 <sup>s</sup> .73	−69° 31′ 37. $''$ 1	LMC_SC3	14	12	42	OGLE
LMC0532	5 <sup>h</sup> 30 <sup>m</sup> 01 <sup>s</sup> .73	−69° 57′ 02. $''$ 3	LMC_SC2	16	14	61	SL519
LMC0533	5 <sup>h</sup> 30 <sup>m</sup> 01 <sup>s</sup> .93	−69° 56′ 38. $''$ 2	LMC_SC3	16	12	47	SL519
LMC0534	5 <sup>h</sup> 30 <sup>m</sup> 03 <sup>s</sup> .66	−70° 07′ 32. $''$ 2	LMC_SC3	8	8	3	OGLE
LMC0535	5 <sup>h</sup> 30 <sup>m</sup> 03 <sup>s</sup> .75	−69° 51′ 19. $''$ 8	LMC_SC2	11	10	19	BSDL2010
LMC0536	5 <sup>h</sup> 30 <sup>m</sup> 03 <sup>s</sup> .77	−70° 12′ 15. $''$ 4	LMC_SC3	11	10	14	OGLE
LMC0537	5 <sup>h</sup> 30 <sup>m</sup> 04 <sup>s</sup> .37	−69° 44′ 27. $''$ 4	LMC_SC3	11	10	24	OGLE
LMC0538	5 <sup>h</sup> 30 <sup>m</sup> 10 <sup>s</sup> .37	−69° 45′ 09. $''$ 6	LMC_SC2	57	49	574	NGC2005,SL518,ESO56SC138
LMC0539 <sup>(1)</sup>	5 <sup>h</sup> 30 <sup>m</sup> 11 <sup>s</sup> .38	−70° 04′ 09. $''$ 7	LMC_SC2	14	12	8	BSDL2021
LMC0540 <sup>(1)</sup>	5 <sup>h</sup> 30 <sup>m</sup> 12 <sup>s</sup> .65	−69° 47′ 23. $''$ 2	LMC_SC2	45	37	108	HS332
LMC0541	5 <sup>h</sup> 30 <sup>m</sup> 21 <sup>s</sup> .20	−69° 35′ 02. $''$ 6	LMC_SC2	31	25	66	BSDL2038
LMC0542 <sup>(1)</sup>	5 <sup>h</sup> 30 <sup>m</sup> 34 <sup>s</sup> .20	−70° 11′ 51. $''$ 4	LMC_SC2	20	17	65	OGLE
LMC0543	5 <sup>h</sup> 30 <sup>m</sup> 37 <sup>s</sup> .44	−69° 46′ 42. $''$ 9	LMC_SC2	14	12	21	BSDL2064
LMC0544	5 <sup>h</sup> 30 <sup>m</sup> 39 <sup>s</sup> .41	−69° 51′ 12. $''$ 0	LMC_SC2	25	20	17	BSDL2067

Table 3

continued

Name OGLE-CL-	$\alpha$ 2000	$\delta$ 2000	Field	$R$ [ $''$ ]	$R_{\text{core}}$ [ $''$ ]	N	Cross- -identifications
LMC0545	5 <sup>h</sup> 30 <sup>m</sup> 39 <sup>s</sup> 55	-70° 13' 06. $''$ 9	LMC_SC2	11	9	48	OGLE
LMC0546	5 <sup>h</sup> 30 <sup>m</sup> 40 <sup>s</sup> 70	-70° 13' 21. $''$ 2	LMC_SC2	14	12	110	SL528
LMC0547 <sup>(1)</sup>	5 <sup>h</sup> 30 <sup>m</sup> 42 <sup>s</sup> 81	-69° 39' 01. $''$ 7	LMC_SC2	25	18	5	BSDL2075
LMC0548	5 <sup>h</sup> 30 <sup>m</sup> 46 <sup>s</sup> 98	-69° 24' 14. $''$ 7	LMC_SC2	16	14	34	BSDL2081
LMC0549 <sup>(1)</sup>	5 <sup>h</sup> 30 <sup>m</sup> 50 <sup>s</sup> 88	-69° 25' 39. $''$ 5	LMC_SC2	20	18	138	BSDL2083
LMC0550	5 <sup>h</sup> 30 <sup>m</sup> 56 <sup>s</sup> 05	-70° 00' 23. $''$ 0	LMC_SC2	12	12	11	BSDL2115
LMC0551	5 <sup>h</sup> 30 <sup>m</sup> 58 <sup>s</sup> 66	-69° 57' 20. $''$ 7	LMC_SC2	21	18	66	SL535
LMC0552	5 <sup>h</sup> 31 <sup>m</sup> 04 <sup>s</sup> 31	-70° 10' 00. $''$ 6	LMC_SC2	25	23	40	BSDL2123
LMC0553	5 <sup>h</sup> 31 <sup>m</sup> 07 <sup>s</sup> 18	-69° 24' 56. $''$ 8	LMC_SC2	8	7	6	BSDL2111
LMC0554	5 <sup>h</sup> 31 <sup>m</sup> 16 <sup>s</sup> 34	-69° 37' 57. $''$ 0	LMC_SC2	8	6	26	BSDL2134
LMC0555	5 <sup>h</sup> 31 <sup>m</sup> 19 <sup>s</sup> 49	-70° 01' 59. $''$ 6	LMC_SC2	13	11	8	BSDL2143
LMC0556	5 <sup>h</sup> 31 <sup>m</sup> 19 <sup>s</sup> 97	-70° 12' 54. $''$ 1	LMC_SC2	29	24	119	SL542
LMC0557	5 <sup>h</sup> 31 <sup>m</sup> 28 <sup>s</sup> 74	-70° 05' 15. $''$ 9	LMC_SC2	27	17	68	SL544
LMC0558	5 <sup>h</sup> 31 <sup>m</sup> 30 <sup>s</sup> 77	-70° 01' 24. $''$ 5	LMC_SC2	18	14	36	HS340
LMC0559 <sup>(2)</sup>	5 <sup>h</sup> 31 <sup>m</sup> 35 <sup>s</sup> 05	-69° 56' 43. $''$ 4	LMC_SC2	31	28	108	NGC2016,SL547,ESO56SC142
LMC0560 <sup>(2)</sup>	5 <sup>h</sup> 31 <sup>m</sup> 36 <sup>s</sup> 00	-69° 39' 18. $''$ 5	LMC_SC2	25	25	38	OGLE
LMC0561 <sup>(2)</sup>	5 <sup>h</sup> 31 <sup>m</sup> 44 <sup>s</sup> 45	-70° 12' 06. $''$ 3	LMC_SC2	10	9	11	BSDL2196
LMC0562 <sup>(2)</sup>	5 <sup>h</sup> 31 <sup>m</sup> 45 <sup>s</sup> 78	-70° 18' 27. $''$ 0	LMC_SC2	11	10	28	HS342,BRHT53
LMC0563 <sup>(2)</sup>	5 <sup>h</sup> 31 <sup>m</sup> 45 <sup>s</sup> 81	-70° 15' 09. $''$ 5	LMC_SC2	13	11	56	BSDL2199
LMC0564	5 <sup>h</sup> 31 <sup>m</sup> 50 <sup>s</sup> 36	-70° 17' 21. $''$ 5	LMC_SC2	20	19	54	HS345,BRHT53
LMC0565	5 <sup>h</sup> 31 <sup>m</sup> 56 <sup>s</sup> 48	-70° 09' 32. $''$ 5	LMC_SC2	49	44	579	NGC2019,SL554,ESO56SC145
LMC0566	5 <sup>h</sup> 32 <sup>m</sup> 01 <sup>s</sup> 06	-70° 10' 42. $''$ 6	LMC_SC2	21	19	6	BSDL2229
LMC0567	5 <sup>h</sup> 32 <sup>m</sup> 11 <sup>s</sup> 72	-69° 29' 41. $''$ 1	LMC_SC2	25	22	124	SL558
LMC0568	5 <sup>h</sup> 32 <sup>m</sup> 12 <sup>s</sup> 62	-69° 59' 38. $''$ 6	LMC_SC2	14	12	28	OGLE
LMC0569	5 <sup>h</sup> 32 <sup>m</sup> 13 <sup>s</sup> 77	-70° 02' 00. $''$ 3	LMC_SC2	23	20	40	HS347
LMC0570	5 <sup>h</sup> 32 <sup>m</sup> 31 <sup>s</sup> 68	-69° 34' 59. $''$ 7	LMC_SC2	24	19	87	BSDL2257
LMC0571	5 <sup>h</sup> 32 <sup>m</sup> 35 <sup>s</sup> 53	-70° 00' 19. $''$ 8	LMC_SC1	24	19	10	OGLE
LMC0572	5 <sup>h</sup> 32 <sup>m</sup> 42 <sup>s</sup> 62	-69° 53' 10. $''$ 8	LMC_SC1	27	20	48	OGLE
LMC0573	5 <sup>h</sup> 32 <sup>m</sup> 45 <sup>s</sup> 92	-70° 26' 03. $''$ 4	LMC_SC1	11	11	2	BSDL2279
LMC0574	5 <sup>h</sup> 32 <sup>m</sup> 46 <sup>s</sup> 01	-69° 52' 04. $''$ 6	LMC_SC1	14	12	5	OGLE
LMC0575	5 <sup>h</sup> 32 <sup>m</sup> 47 <sup>s</sup> 49	-69° 39' 16. $''$ 2	LMC_SC1	26	20	67	BSDL2271
LMC0576	5 <sup>h</sup> 32 <sup>m</sup> 48 <sup>s</sup> 76	-70° 26' 07. $''$ 4	LMC_SC1	10	10	7	BSDL2284
LMC0577	5 <sup>h</sup> 32 <sup>m</sup> 48 <sup>s</sup> 86	-70° 27' 23. $''$ 0	LMC_SC1	25	20	86	SL565,KMHK1058
LMC0578	5 <sup>h</sup> 32 <sup>m</sup> 51 <sup>s</sup> 25	-70° 26' 01. $''$ 5	LMC_SC1	14	12	25	BSDL2288
LMC0579	5 <sup>h</sup> 32 <sup>m</sup> 57 <sup>s</sup> 04	-69° 57' 06. $''$ 8	LMC_SC1	12	10	24	OGLE
LMC0580	5 <sup>h</sup> 32 <sup>m</sup> 58 <sup>s</sup> 90	-70° 08' 24. $''$ 1	LMC_SC1	14	14	24	BSDL2286
LMC0581	5 <sup>h</sup> 33 <sup>m</sup> 02 <sup>s</sup> 92	-69° 50' 54. $''$ 5	LMC_SC1	41	41	42	BSDL2275
LMC0582	5 <sup>h</sup> 33 <sup>m</sup> 04 <sup>s</sup> 68	-70° 30' 46. $''$ 8	LMC_SC1	20	14	51	SL568,KMHK1068
LMC0583	5 <sup>h</sup> 33 <sup>m</sup> 06 <sup>s</sup> 18	-70° 02' 30. $''$ 8	LMC_SC1	23	15	103	HS349
LMC0584	5 <sup>h</sup> 33 <sup>m</sup> 14 <sup>s</sup> 59	-69° 53' 11. $''$ 3	LMC_SC1	19	13	37	OGLE
LMC0585	5 <sup>h</sup> 33 <sup>m</sup> 21 <sup>s</sup> 91	-69° 57' 20. $''$ 6	LMC_SC1	39	28	193	SL574
LMC0586	5 <sup>h</sup> 33 <sup>m</sup> 23 <sup>s</sup> 04	-70° 01' 48. $''$ 8	LMC_SC1	30	29	90	HS351
LMC0587	5 <sup>h</sup> 33 <sup>m</sup> 23 <sup>s</sup> 61	-70° 13' 36. $''$ 7	LMC_SC1	32	29	34	HS350
LMC0588	5 <sup>h</sup> 33 <sup>m</sup> 25 <sup>s</sup> 22	-70° 26' 26. $''$ 7	LMC_SC1	15	12	16	BSDL2327
LMC0589	5 <sup>h</sup> 33 <sup>m</sup> 26 <sup>s</sup> 40	-70° 06' 51. $''$ 9	LMC_SC1	11	10	24	HS352
LMC0590	5 <sup>h</sup> 33 <sup>m</sup> 39 <sup>s</sup> 71	-70° 08' 40. $''$ 9	LMC_SC1	12	10	12	BSDL2333
LMC0591	5 <sup>h</sup> 33 <sup>m</sup> 40 <sup>s</sup> 98	-69° 54' 58. $''$ 1	LMC_SC1	29	21	65	HS353
LMC0592	5 <sup>h</sup> 33 <sup>m</sup> 41 <sup>s</sup> 10	-69° 51' 43. $''$ 7	LMC_SC1	31	22	110	BSDL2356
LMC0593	5 <sup>h</sup> 33 <sup>m</sup> 46 <sup>s</sup> 78	-70° 10' 14. $''$ 4	LMC_SC1	14	11	2	BSDL2340
LMC0594	5 <sup>h</sup> 33 <sup>m</sup> 48 <sup>s</sup> 46	-69° 57' 03. $''$ 6	LMC_SC1	27	23	195	NGC2028,SL575,ESO56SC152
LMC0595	5 <sup>h</sup> 33 <sup>m</sup> 49 <sup>s</sup> 50	-69° 53' 18. $''$ 1	LMC_SC1	22	20	4	BSDL2364
LMC0596	5 <sup>h</sup> 33 <sup>m</sup> 57 <sup>s</sup> 53	-69° 38' 38. $''$ 8	LMC_SC1	29	20	42	OGLE
LMC0597 <sup>(1)</sup>	5 <sup>h</sup> 33 <sup>m</sup> 57 <sup>s</sup> 85	-70° 14' 32. $''$ 5	LMC_SC1	25	19	21	OGLE
LMC0598	5 <sup>h</sup> 34 <sup>m</sup> 00 <sup>s</sup> 48	-69° 40' 21. $''$ 8	LMC_SC1	30	24	79	BSDL2371
LMC0599	5 <sup>h</sup> 34 <sup>m</sup> 01 <sup>s</sup> 30	-70° 17' 43. $''$ 5	LMC_SC1	35	31	70	OGLE
LMC0600 <sup>(2)</sup>	5 <sup>h</sup> 34 <sup>m</sup> 07 <sup>s</sup> 80	-69° 55' 20. $''$ 0	LMC_SC1	23	20	38	BSDL2389
LMC0601 <sup>(2)</sup>	5 <sup>h</sup> 34 <sup>m</sup> 14 <sup>s</sup> 51	-69° 40' 34. $''$ 1	LMC_SC1	8	7	7	BSDL2397
LMC0602 <sup>(1)</sup>	5 <sup>h</sup> 34 <sup>m</sup> 30 <sup>s</sup> 86	-69° 46' 50. $''$ 3	LMC_SC1	20	20	82	BSDL2426
LMC0603	5 <sup>h</sup> 34 <sup>m</sup> 31 <sup>s</sup> 91	-70° 03' 57. $''$ 0	LMC_SC1	44	25	302	HS349
LMC0604	5 <sup>h</sup> 34 <sup>m</sup> 38 <sup>s</sup> 36	-69° 41' 36. $''$ 0	LMC_SC1	19	12	44	BSDL2441
LMC0605	5 <sup>h</sup> 34 <sup>m</sup> 40 <sup>s</sup> 36	-69° 44' 50. $''$ 1	LMC_SC1	24	20	107	BCDSP8
LMC0606	5 <sup>h</sup> 34 <sup>m</sup> 40 <sup>s</sup> 93	-70° 11' 41. $''$ 5	LMC_SC1	8	6	2	OGLE
LMC0607	5 <sup>h</sup> 34 <sup>m</sup> 42 <sup>s</sup> 06	-70° 33' 42. $''$ 5	LMC_SC1	37	20	368	NGC2038,SL590,ESO56SC158
LMC0608	5 <sup>h</sup> 34 <sup>m</sup> 46 <sup>s</sup> 65	-69° 44' 35. $''$ 2	LMC_SC1	23	11	58	OGLE
LMC0609	5 <sup>h</sup> 34 <sup>m</sup> 50 <sup>s</sup> 49	-69° 54' 58. $''$ 5	LMC_SC1	31	25	84	SL591
LMC0610	5 <sup>h</sup> 34 <sup>m</sup> 56 <sup>s</sup> 00	-69° 43' 07. $''$ 8	LMC_SC1	10	9	9	BSDL2458
LMC0611	5 <sup>h</sup> 34 <sup>m</sup> 59 <sup>s</sup> 58	-70° 02' 34. $''$ 0	LMC_SC16	16	12	40	BSDL2464
LMC0612	5 <sup>h</sup> 35 <sup>m</sup> 02 <sup>s</sup> 55	-70° 06' 35. $''$ 4	LMC_SC16	16	14	14	OGLE

Table 3

continued

Name OGLE-CL-	$\alpha_{2000}$	$\delta_{2000}$	Field	$R$ [ $''$ ]	$R_{\text{core}}$ [ $''$ ]	N	Cross- -identifications
LMC0613 <sup>(1)</sup>	5 <sup>h</sup> 35 <sup>m</sup> 03 <sup>s</sup> .46	−70°09′30. <sup>''</sup> 2	LMC_SC1	33	31	15	OGLE
LMC0614	5 <sup>h</sup> 35 <sup>m</sup> 04 <sup>s</sup> .06	−70°21′30. <sup>''</sup> 0	LMC_SC16	16	14	14	OGLE
LMC0615	5 <sup>h</sup> 35 <sup>m</sup> 07 <sup>s</sup> .71	−70°19′32. <sup>''</sup> 2	LMC_SC16	29	23	82	SL593,KMHK1114
LMC0616	5 <sup>h</sup> 35 <sup>m</sup> 14 <sup>s</sup> .02	−69°54′21. <sup>''</sup> 2	LMC_SC16	24	19	28	HS362
LMC0617	5 <sup>h</sup> 35 <sup>m</sup> 17 <sup>s</sup> .10	−69°54′50. <sup>''</sup> 3	LMC_SC16	20	18	25	BSDL2480
LMC0618	5 <sup>h</sup> 35 <sup>m</sup> 23 <sup>s</sup> .52	−69°44′41. <sup>''</sup> 5	LMC_SC16	20	14	50	BSDL2488
LMC0619	5 <sup>h</sup> 35 <sup>m</sup> 30 <sup>s</sup> .68	−70°20′56. <sup>''</sup> 9	LMC_SC16	14	13	30	HS363,KMHK1124
LMC0620	5 <sup>h</sup> 35 <sup>m</sup> 31 <sup>s</sup> .34	−70°08′10. <sup>''</sup> 3	LMC_SC16	21	17	26	BSDL2504
LMC0621	5 <sup>h</sup> 35 <sup>m</sup> 36 <sup>s</sup> .65	−70°22′11. <sup>''</sup> 2	LMC_SC16	14	9	21	OGLE
LMC0622	5 <sup>h</sup> 35 <sup>m</sup> 38 <sup>s</sup> .66	−70°14′23. <sup>''</sup> 1	LMC_SC16	30	20	127	NGC2046,SL597,ESO56SC162
LMC0623	5 <sup>h</sup> 35 <sup>m</sup> 49 <sup>s</sup> .30	−69°51′10. <sup>''</sup> 5	LMC_SC16	16	11	6	OGLE
LMC0624	5 <sup>h</sup> 35 <sup>m</sup> 50 <sup>s</sup> .81	−69°52′35. <sup>''</sup> 0	LMC_SC16	26	20	102	SL599
LMC0625	5 <sup>h</sup> 35 <sup>m</sup> 51 <sup>s</sup> .58	−70°13′51. <sup>''</sup> 2	LMC_SC16	10	8	6	OGLE
LMC0626	5 <sup>h</sup> 35 <sup>m</sup> 54 <sup>s</sup> .42	−70°11′28. <sup>''</sup> 9	LMC_SC16	15	12	30	NGC2047,SL600,ESO56SC167
LMC0627	5 <sup>h</sup> 35 <sup>m</sup> 56 <sup>s</sup> .66	−70°04′23. <sup>''</sup> 1	LMC_SC16	23	18	56	NGC2043,ESO56SC168
LMC0628	5 <sup>h</sup> 35 <sup>m</sup> 58 <sup>s</sup> .46	−70°09′17. <sup>''</sup> 0	LMC_SC16	30	22	46	BSDL2535
LMC0629	5 <sup>h</sup> 36 <sup>m</sup> 11 <sup>s</sup> .69	−70°14′27. <sup>''</sup> 4	LMC_SC16	10	9	11	OGLE
LMC0630	5 <sup>h</sup> 36 <sup>m</sup> 22 <sup>s</sup> .58	−70°07′40. <sup>''</sup> 7	LMC_SC16	20	16	25	BSDL2559
LMC0631 <sup>(1)</sup>	5 <sup>h</sup> 36 <sup>m</sup> 33 <sup>s</sup> .95	−70°09′55. <sup>''</sup> 0	LMC_SC16	29	26	48	BSDL2570
LMC0632	5 <sup>h</sup> 36 <sup>m</sup> 53 <sup>s</sup> .68	−70°06′21. <sup>''</sup> 3	LMC_SC16	26	21	4	NGC2059
LMC0633 <sup>(2)</sup>	5 <sup>h</sup> 36 <sup>m</sup> 54 <sup>s</sup> .52	−70°09′43. <sup>''</sup> 7	LMC_SC16	53	45	603	NGC2058,SL614,ESO56SC173
LMC0634	5 <sup>h</sup> 36 <sup>m</sup> 56 <sup>s</sup> .21	−70°16′10. <sup>''</sup> 3	LMC_SC16	19	18	146	NGC2057,SL616,ESO56SC174
LMC0635	5 <sup>h</sup> 36 <sup>m</sup> 56 <sup>s</sup> .83	−69°55′19. <sup>''</sup> 8	LMC_SC16	14	12	15	OGLE
LMC0636	5 <sup>h</sup> 37 <sup>m</sup> 01 <sup>s</sup> .53	−70°07′36. <sup>''</sup> 7	LMC_SC16	24	18	61	NGC2059,SL613,ESO56SC175
LMC0637	5 <sup>h</sup> 37 <sup>m</sup> 13 <sup>s</sup> .54	−70°01′25. <sup>''</sup> 4	LMC_SC16	14	11	36	BSDL2611
LMC0638	5 <sup>h</sup> 37 <sup>m</sup> 15 <sup>s</sup> .39	−69°53′44. <sup>''</sup> 7	LMC_SC16	18	14	60	SL621
LMC0639	5 <sup>h</sup> 37 <sup>m</sup> 18 <sup>s</sup> .90	−70°09′19. <sup>''</sup> 0	LMC_SC16	16	14	18	BSDL2620
LMC0640	5 <sup>h</sup> 37 <sup>m</sup> 21 <sup>s</sup> .73	−69°53′40. <sup>''</sup> 5	LMC_SC16	13	11	7	BSDL2610
LMC0641	5 <sup>h</sup> 37 <sup>m</sup> 22 <sup>s</sup> .08	−69°58′21. <sup>''</sup> 2	LMC_SC16	34	30	150	SL622
LMC0642	5 <sup>h</sup> 37 <sup>m</sup> 22 <sup>s</sup> .24	−69°58′56. <sup>''</sup> 0	LMC_SC16	10	9	12	BSDL2622
LMC0643	5 <sup>h</sup> 37 <sup>m</sup> 24 <sup>s</sup> .39	−70°05′40. <sup>''</sup> 4	LMC_SC16	12	9	24	BSDL2616
LMC0644	5 <sup>h</sup> 37 <sup>m</sup> 25 <sup>s</sup> .84	−70°13′28. <sup>''</sup> 6	LMC_SC16	16	12	22	BSDL2624
LMC0645	5 <sup>h</sup> 37 <sup>m</sup> 32 <sup>s</sup> .75	−69°55′44. <sup>''</sup> 7	LMC_SC16	10	9	34	BSDL2626
LMC0646	5 <sup>h</sup> 37 <sup>m</sup> 32 <sup>s</sup> .99	−70°03′18. <sup>''</sup> 3	LMC_SC17	29	23	41	OGLE
LMC0647	5 <sup>h</sup> 37 <sup>m</sup> 37 <sup>s</sup> .00	−70°07′33. <sup>''</sup> 5	LMC_SC17	24	21	35	BSDL2632
LMC0648 <sup>(1)</sup>	5 <sup>h</sup> 37 <sup>m</sup> 37 <sup>s</sup> .81	−70°13′56. <sup>''</sup> 4	LMC_SC17	59	49	543	NGC2065,SL626,ESO57SC2
LMC0649	5 <sup>h</sup> 37 <sup>m</sup> 38 <sup>s</sup> .87	−69°48′50. <sup>''</sup> 2	LMC_SC17	9	7	14	OGLE
LMC0650	5 <sup>h</sup> 37 <sup>m</sup> 39 <sup>s</sup> .15	−70°08′43. <sup>''</sup> 9	LMC_SC17	37	32	60	BSDL2636
LMC0651	5 <sup>h</sup> 37 <sup>m</sup> 42 <sup>s</sup> .36	−70°09′54. <sup>''</sup> 0	LMC_SC17	27	20	85	NGC2066,SL627,ESO57SC3
LMC0652	5 <sup>h</sup> 37 <sup>m</sup> 46 <sup>s</sup> .94	−70°22′28. <sup>''</sup> 6	LMC_SC17	14	11	18	HS372,KMHK1163
LMC0653	5 <sup>h</sup> 38 <sup>m</sup> 06 <sup>s</sup> .61	−70°12′30. <sup>''</sup> 7	LMC_SC17	13	10	9	BSDL2646
LMC0654	5 <sup>h</sup> 38 <sup>m</sup> 10 <sup>s</sup> .92	−69°49′50. <sup>''</sup> 8	LMC_SC17	14	12	26	BSDL2649
LMC0655	5 <sup>h</sup> 38 <sup>m</sup> 21 <sup>s</sup> .26	−70°41′06. <sup>''</sup> 1	LMC_SC17	25	24	131	SL631
LMC0656	5 <sup>h</sup> 38 <sup>m</sup> 24 <sup>s</sup> .10	−70°14′00. <sup>''</sup> 7	LMC_SC17	18	13	64	NGC2072,SL630,ESO57SC4
LMC0657	5 <sup>h</sup> 38 <sup>m</sup> 26 <sup>s</sup> .88	−70°36′30. <sup>''</sup> 1	LMC_SC17	14	12	32	KMHK1177
LMC0658 <sup>(1)</sup>	5 <sup>h</sup> 38 <sup>m</sup> 32 <sup>s</sup> .15	−69°53′32. <sup>''</sup> 9	LMC_SC17	13	11	37	OGLE
LMC0659	5 <sup>h</sup> 38 <sup>m</sup> 33 <sup>s</sup> .26	−69°59′30. <sup>''</sup> 1	LMC_SC17	9	7	34	BSDL2660
LMC0660 <sup>(1)</sup>	5 <sup>h</sup> 38 <sup>m</sup> 48 <sup>s</sup> .96	−70°42′49. <sup>''</sup> 5	LMC_SC17	23	18	56	KMHK1181
LMC0661	5 <sup>h</sup> 38 <sup>m</sup> 49 <sup>s</sup> .73	−70°28′30. <sup>''</sup> 9	LMC_SC17	20	17	46	HS376,KMHK1180
LMC0662	5 <sup>h</sup> 38 <sup>m</sup> 53 <sup>s</sup> .40	−69°51′46. <sup>''</sup> 6	LMC_SC17	15	14	44	BSDL2672
LMC0663	5 <sup>h</sup> 38 <sup>m</sup> 57 <sup>s</sup> .52	−69°59′31. <sup>''</sup> 5	LMC_SC17	14	13	53	BSDL2680
LMC0664	5 <sup>h</sup> 39 <sup>m</sup> 00 <sup>s</sup> .27	−69°59′19. <sup>''</sup> 5	LMC_SC17	22	17	168	SL636
LMC0665	5 <sup>h</sup> 39 <sup>m</sup> 05 <sup>s</sup> .63	−70°13′46. <sup>''</sup> 9	LMC_SC17	18	16	41	KMHK1185
LMC0666 <sup>(2)</sup>	5 <sup>h</sup> 39 <sup>m</sup> 17 <sup>s</sup> .87	−70°13′11. <sup>''</sup> 9	LMC_SC17	20	18	29	OGLE
LMC0667	5 <sup>h</sup> 39 <sup>m</sup> 27 <sup>s</sup> .91	−70°12′35. <sup>''</sup> 6	LMC_SC17	9	7	11	OGLE
LMC0668	5 <sup>h</sup> 39 <sup>m</sup> 28 <sup>s</sup> .93	−70°29′44. <sup>''</sup> 4	LMC_SC17	16	14	39	KMHK1193
LMC0669	5 <sup>h</sup> 39 <sup>m</sup> 32 <sup>s</sup> .97	−69°53′31. <sup>''</sup> 1	LMC_SC17	10	9	23	BSDL2706
LMC0670	5 <sup>h</sup> 39 <sup>m</sup> 36 <sup>s</sup> .01	−69°54′28. <sup>''</sup> 2	LMC_SC17	11	10	16	BSDL2708
LMC0671	5 <sup>h</sup> 39 <sup>m</sup> 36 <sup>s</sup> .49	−70°40′27. <sup>''</sup> 1	LMC_SC17	22	16	36	KMHK1197
LMC0672	5 <sup>h</sup> 39 <sup>m</sup> 39 <sup>s</sup> .32	−70°42′45. <sup>''</sup> 8	LMC_SC17	22	18	54	KMHK1200
LMC0673	5 <sup>h</sup> 39 <sup>m</sup> 45 <sup>s</sup> .67	−70°17′01. <sup>''</sup> 0	LMC_SC17	19	16	38	HS381,KMHK1199
LMC0674 <sup>(1)</sup>	5 <sup>h</sup> 39 <sup>m</sup> 50 <sup>s</sup> .25	−70°30′51. <sup>''</sup> 2	LMC_SC17	15	11	26	BSDL2730
LMC0675 <sup>(2)</sup>	5 <sup>h</sup> 39 <sup>m</sup> 58 <sup>s</sup> .20	−70°27′17. <sup>''</sup> 6	LMC_SC18	20	20	83	KMHK1204
LMC0676	5 <sup>h</sup> 40 <sup>m</sup> 14 <sup>s</sup> .14	−70°51′25. <sup>''</sup> 4	LMC_SC18	16	12	12	HS383,KMHK1215
LMC0677	5 <sup>h</sup> 40 <sup>m</sup> 14 <sup>s</sup> .53	−70°33′41. <sup>''</sup> 0	LMC_SC18	20	18	16	OGLE
LMC0678	5 <sup>h</sup> 40 <sup>m</sup> 39 <sup>s</sup> .91	−70°38′26. <sup>''</sup> 9	LMC_SC18	11	10	26	KMHK1228
LMC0679	5 <sup>h</sup> 40 <sup>m</sup> 56 <sup>s</sup> .60	−70°51′27. <sup>''</sup> 7	LMC_SC18	18	16	27	BSDL2799
LMC0680	5 <sup>h</sup> 41 <sup>m</sup> 01 <sup>s</sup> .85	−70°50′50. <sup>''</sup> 2	LMC_SC18	14	13	31	KMHK1232



Table 3  
concluded

Name OGLE-CL-	$\alpha$ 2000	$\delta$ 2000	Field	$R$ [ $''$ ]	$R_{\text{core}}$ [ $''$ ]	N	Cross- -identifications
LMC0681	5 <sup>h</sup> 41 <sup>m</sup> 04 <sup>s</sup> .85	-70° 23' 19 $''$ .9	LMC_SC18	29	23	38	OGLE
LMC0682	5 <sup>h</sup> 41 <sup>m</sup> 07 <sup>s</sup> .31	-70° 13' 03 $''$ .7	LMC_SC18	20	16	47	HS388
LMC0683	5 <sup>h</sup> 41 <sup>m</sup> 13 <sup>s</sup> .41	-70° 16' 35 $''$ .9	LMC_SC18	20	17	20	BSDL2813
LMC0684	5 <sup>h</sup> 41 <sup>m</sup> 21 <sup>s</sup> .11	-70° 39' 53 $''$ .3	LMC_SC18	19	15	24	OGLE
LMC0685	5 <sup>h</sup> 41 <sup>m</sup> 21 <sup>s</sup> .79	-70° 11' 44 $''$ .1	LMC_SC18	16	12	22	BSDL2818
LMC0686	5 <sup>h</sup> 41 <sup>m</sup> 29 <sup>s</sup> .28	-70° 13' 58 $''$ .0	LMC_SC18	14	12	22	HS391,KMHK1242
LMC0687	5 <sup>h</sup> 41 <sup>m</sup> 33 <sup>s</sup> .03	-70° 14' 08 $''$ .0	LMC_SC18	11	9	6	BSDL2825
LMC0688 <sup>(1),(2)</sup>	5 <sup>h</sup> 41 <sup>m</sup> 36 <sup>s</sup> .70	-70° 08' 55 $''$ .0	LMC_SC18	31	28	73	OGLE
LMC0689 <sup>(2)</sup>	5 <sup>h</sup> 41 <sup>m</sup> 41 <sup>s</sup> .78	-70° 28' 01 $''$ .0	LMC_SC18	9	8	27	BSDL2837
LMC0690	5 <sup>h</sup> 41 <sup>m</sup> 57 <sup>s</sup> .00	-70° 50' 54 $''$ .9	LMC_SC18	25	18	52	HS393,KMHK1261
LMC0691	5 <sup>h</sup> 42 <sup>m</sup> 17 <sup>s</sup> .59	-70° 39' 43 $''$ .1	LMC_SC18	13	12	23	HS397,KMHK1270
LMC0692	5 <sup>h</sup> 42 <sup>m</sup> 32 <sup>s</sup> .42	-70° 38' 04 $''$ .7	LMC_SC19	9	9	12	BSDL2871
LMC0693 <sup>(2)</sup>	5 <sup>h</sup> 42 <sup>m</sup> 37 <sup>s</sup> .45	-69° 57' 05 $''$ .7	LMC_SC18	18	17	31	KMHK1277
LMC0694	5 <sup>h</sup> 42 <sup>m</sup> 40 <sup>s</sup> .74	-70° 29' 43 $''$ .6	LMC_SC19	28	21	72	HS398,KMHK1280
LMC0695	5 <sup>h</sup> 42 <sup>m</sup> 46 <sup>s</sup> .87	-70° 09' 43 $''$ .2	LMC_SC19	18	14	29	BSDL2881
LMC0696	5 <sup>h</sup> 42 <sup>m</sup> 55 <sup>s</sup> .34	-70° 39' 19 $''$ .4	LMC_SC19	13	11	23	BSDL2888
LMC0697	5 <sup>h</sup> 43 <sup>m</sup> 06 <sup>s</sup> .63	-70° 16' 37 $''$ .9	LMC_SC19	23	18	83	HS399,KMHK1287
LMC0698	5 <sup>h</sup> 43 <sup>m</sup> 08 <sup>s</sup> .35	-70° 24' 59 $''$ .4	LMC_SC19	16	13	41	HS401,KMHK1288
LMC0699	5 <sup>h</sup> 43 <sup>m</sup> 09 <sup>s</sup> .96	-70° 34' 16 $''$ .4	LMC_SC19	23	18	170	SL676,KMHK1289
LMC0700	5 <sup>h</sup> 43 <sup>m</sup> 12 <sup>s</sup> .72	-70° 38' 23 $''$ .3	LMC_SC19	42	32	525	NGC2107,SL679,ESO57SC32
LMC0701	5 <sup>h</sup> 43 <sup>m</sup> 18 <sup>s</sup> .20	-70° 44' 35 $''$ .3	LMC_SC19	11	10	27	BSDL2902
LMC0702	5 <sup>h</sup> 43 <sup>m</sup> 34 <sup>s</sup> .29	-70° 30' 39 $''$ .3	LMC_SC19	16	15	40	KMHK1299
LMC0703	5 <sup>h</sup> 43 <sup>m</sup> 38 <sup>s</sup> .33	-70° 33' 56 $''$ .1	LMC_SC19	18	17	54	SL684,KMHK1302
LMC0704	5 <sup>h</sup> 43 <sup>m</sup> 41 <sup>s</sup> .52	-70° 36' 30 $''$ .3	LMC_SC19	23	20	42	BSDL2913
LMC0705	5 <sup>h</sup> 43 <sup>m</sup> 45 <sup>s</sup> .47	-70° 51' 15 $''$ .1	LMC_SC19	11	10	31	KMHK1307
LMC0706	5 <sup>h</sup> 43 <sup>m</sup> 45 <sup>s</sup> .95	-70° 53' 28 $''$ .4	LMC_SC19	19	17	12	BSDL2915
LMC0707	5 <sup>h</sup> 43 <sup>m</sup> 47 <sup>s</sup> .18	-70° 07' 55 $''$ .1	LMC_SC19	12	10	24	BSDL2912
LMC0708	5 <sup>h</sup> 43 <sup>m</sup> 55 <sup>s</sup> .64	-70° 36' 37 $''$ .6	LMC_SC19	11	10	9	OGLE
LMC0709	5 <sup>h</sup> 43 <sup>m</sup> 56 <sup>s</sup> .57	-70° 55' 40 $''$ .2	LMC_SC19	17	14	13	BSDL2919
LMC0710	5 <sup>h</sup> 44 <sup>m</sup> 06 <sup>s</sup> .00	-70° 31' 58 $''$ .3	LMC_SC19	17	17	22	BSDL2920
LMC0711 <sup>(2)</sup>	5 <sup>h</sup> 44 <sup>m</sup> 14 <sup>s</sup> .10	-70° 39' 19 $''$ .8	LMC_SC19	16	12	11	SL691,BRHT40,KMHK1319
LMC0712 <sup>(2)</sup>	5 <sup>h</sup> 44 <sup>m</sup> 14 <sup>s</sup> .50	-70° 40' 09 $''$ .5	LMC_SC19	20	18	3	SL692,BRHT40,KMHK1320
LMC0713 <sup>(2)</sup>	5 <sup>h</sup> 44 <sup>m</sup> 16 <sup>s</sup> .72	-70° 59' 59 $''$ .1	LMC_SC19	13	12	27	BSDL2929
LMC0714	5 <sup>h</sup> 44 <sup>m</sup> 22 <sup>s</sup> .18	-70° 15' 22 $''$ .2	LMC_SC19	17	14	32	BSDL2927
LMC0715	5 <sup>h</sup> 44 <sup>m</sup> 33 <sup>s</sup> .07	-70° 59' 35 $''$ .3	LMC_SC19	32	28	228	NGC2111,SL699,ESO57SC35
LMC0716	5 <sup>h</sup> 44 <sup>m</sup> 40 <sup>s</sup> .58	-71° 02' 25 $''$ .3	LMC_SC19	20	19	47	BSDL2943
LMC0717	5 <sup>h</sup> 44 <sup>m</sup> 42 <sup>s</sup> .33	-70° 25' 31 $''$ .0	LMC_SC19	13	12	19	BSDL2938
LMC0718	5 <sup>h</sup> 44 <sup>m</sup> 44 <sup>s</sup> .66	-71° 00' 21 $''$ .3	LMC_SC19	8	7	22	HS407,BRHT21,KMHK1334
LMC0719	5 <sup>h</sup> 44 <sup>m</sup> 46 <sup>s</sup> .18	-70° 17' 16 $''$ .6	LMC_SC19	14	13	37	KMHK1331
LMC0720	5 <sup>h</sup> 44 <sup>m</sup> 47 <sup>s</sup> .26	-70° 24' 21 $''$ .9	LMC_SC19	11	9	23	HS406,KMHK1332
LMC0721	5 <sup>h</sup> 44 <sup>m</sup> 57 <sup>s</sup> .16	-70° 19' 58 $''$ .9	LMC_SC19	12	10	27	HS409,KMHK1336
LMC0722	5 <sup>h</sup> 44 <sup>m</sup> 58 <sup>s</sup> .23	-70° 13' 03 $''$ .3	LMC_SC19	17	15	44	KMHK1337
LMC0723	5 <sup>h</sup> 45 <sup>m</sup> 01 <sup>s</sup> .34	-70° 32' 34 $''$ .2	LMC_SC20	20	18	44	BSDL2950
LMC0724	5 <sup>h</sup> 45 <sup>m</sup> 03 <sup>s</sup> .36	-70° 16' 59 $''$ .7	LMC_SC20	12	11	12	OGLE
LMC0725	5 <sup>h</sup> 45 <sup>m</sup> 05 <sup>s</sup> .01	-70° 14' 29 $''$ .4	LMC_SC19	27	23	118	SL702,KMHK1339
LMC0726	5 <sup>h</sup> 45 <sup>m</sup> 11 <sup>s</sup> .83	-70° 43' 26 $''$ .7	LMC_SC20	27	23	49	BSDL2954
LMC0727	5 <sup>h</sup> 45 <sup>m</sup> 20 <sup>s</sup> .88	-70° 36' 06 $''$ .2	LMC_SC20	14	10	24	BSDL2963
LMC0728	5 <sup>h</sup> 45 <sup>m</sup> 25 <sup>s</sup> .13	-70° 24' 03 $''$ .9	LMC_SC20	18	14	71	SL704,KMHK1343
LMC0729	5 <sup>h</sup> 45 <sup>m</sup> 31 <sup>s</sup> .62	-70° 45' 33 $''$ .7	LMC_SC20	23	17	39	HS410,KMHK1344
LMC0730	5 <sup>h</sup> 45 <sup>m</sup> 38 <sup>s</sup> .78	-70° 56' 21 $''$ .2	LMC_SC20	13	10	19	BSDL2970
LMC0731	5 <sup>h</sup> 45 <sup>m</sup> 46 <sup>s</sup> .36	-70° 43' 09 $''$ .0	LMC_SC20	16	11	25	BSDL2972
LMC0732	5 <sup>h</sup> 45 <sup>m</sup> 59 <sup>s</sup> .18	-70° 43' 45 $''$ .8	LMC_SC20	9	8	17	BSDL2978
LMC0733	5 <sup>h</sup> 46 <sup>m</sup> 11 <sup>s</sup> .08	-70° 43' 12 $''$ .2	LMC_SC20	10	8	14	OGLE
LMC0734	5 <sup>h</sup> 46 <sup>m</sup> 16 <sup>s</sup> .83	-71° 03' 51 $''$ .3	LMC_SC20	13	9	9	BSDL2982
LMC0735	5 <sup>h</sup> 46 <sup>m</sup> 36 <sup>s</sup> .62	-70° 46' 33 $''$ .0	LMC_SC20	15	10	16	BSDL2993
LMC0736 <sup>(2)</sup>	5 <sup>h</sup> 46 <sup>m</sup> 41 <sup>s</sup> .10	-70° 50' 51 $''$ .8	LMC_SC20	11	8	20	HS414,BRHT42,KMHK1365
LMC0737 <sup>(2)</sup>	5 <sup>h</sup> 46 <sup>m</sup> 47 <sup>s</sup> .18	-70° 49' 58 $''$ .5	LMC_SC20	15	13	58	SL716,BRHT42,KMHK1367
LMC0738 <sup>(2)</sup>	5 <sup>h</sup> 46 <sup>m</sup> 47 <sup>s</sup> .44	-70° 35' 21 $''$ .0	LMC_SC20	11	10	34	BSDL3001
LMC0739	5 <sup>h</sup> 46 <sup>m</sup> 51 <sup>s</sup> .26	-70° 30' 39 $''$ .9	LMC_SC20	19	15	53	BSDL3000
LMC0740	5 <sup>h</sup> 46 <sup>m</sup> 52 <sup>s</sup> .00	-70° 48' 21 $''$ .3	LMC_SC20	14	11	18	BSDL3003
LMC0741	5 <sup>h</sup> 47 <sup>m</sup> 17 <sup>s</sup> .17	-70° 48' 59 $''$ .1	LMC_SC20	23	20	25	BSDL3015
LMC0742	5 <sup>h</sup> 47 <sup>m</sup> 23 <sup>s</sup> .15	-70° 26' 37 $''$ .4	LMC_SC20	24	21	54	BSDL3017
LMC0743	5 <sup>h</sup> 47 <sup>m</sup> 23 <sup>s</sup> .84	-70° 41' 54 $''$ .8	LMC_SC20	16	14	5	OGLE
LMC0744	5 <sup>h</sup> 47 <sup>m</sup> 33 <sup>s</sup> .59	-70° 57' 55 $''$ .8	LMC_SC20	23	18	79	H88-341,KMHK1383
LMC0745 <sup>(2)</sup>	5 <sup>h</sup> 47 <sup>m</sup> 41 <sup>s</sup> .48	-71° 12' 23 $''$ .9	LMC_SC20	15	15	62	SL722,KMHK1384

and four digit number. In columns 2 and 3 we list the equatorial coordinates of cluster center and in column 4 the OGLE name of the field in which a given cluster was detected. Columns 5, 6, 7 and 8 provide radius, core radius, crude number of cluster members and cross-identification (see Table 2 for explanation of acronyms used in column 8). Remarks given in column 1 have the following meaning : (1) – cluster contains bright star, (2) – object is located close to the edge of the frame or bad columns. Crude number of members was calculated by subtraction of the mean stellar background from the number of stars counted in the radius of the cluster. Stellar background was averaged from independent counts in four regions around the cluster. While for the more populous clusters this number quite reasonably approximate number of stars in the cluster, its meaning is "several" when it is below a dozen or so (typically for small clusters located in high stellar background regions).

Appendix presents a few pages of the Atlas of star clusters from the LMC. It consists of the finding chart and color-magnitude diagrams (CMD) of each cluster. Presented CMDs were not cleaned for field stars so in the case of clusters located in dense stellar regions and objects with small number of stars they can be contaminated by field stars. One can perform subtraction of field stars from cluster CMDs when the OGLE photometric maps of the LMC are released (Udalski *et al.* in preparation). Full version of Atlas is available electronically from the OGLE Internet archive.

## 5 Summary

We present the catalog of clusters found in the 5.8 square degrees area of the LMC, based on the *BVI* observations collected in the course of the OGLE-II microlensing project. The automatic, algorithmic procedure similar to that used in searching for clusters in the SMC (Paper I) resulted in detection of 745 objects. 126 of them are the new ones. For all of them the equatorial coordinates, radius, approximate number of members and cross-identification with previous catalogs are provided.

The Catalog, full version of the Atlas and *BVI* photometry of each cluster can be obtained from the OGLE Internet archive:

*ftp://sirius.astroww.edu.pl/ogle/ogle2/clusters/lmc/* or  
*http://www.astroww.edu.pl/~ogle*

and its US mirror

*http://www.princeton.edu/~ogle.*

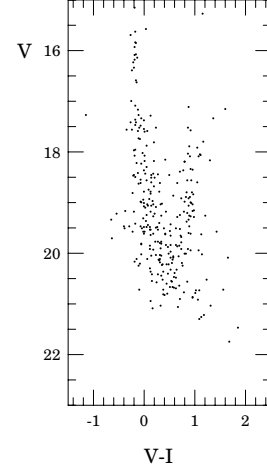
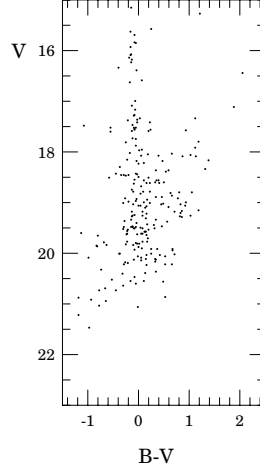
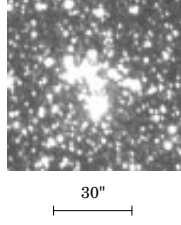
**Acknowledgements.** We would like to thank Dr. Eduardo Bica for kindly providing us with the computer version of the list of clusters from the LMC. The paper was partly supported by the Polish KBN grants: 2P03D00814 to A. Udalski and 2P03D00617 to G. Pietrzyński. Partial support for the OGLE project was provided with the NSF grant AST-9820314 to B. Paczyński.

## REFERENCES

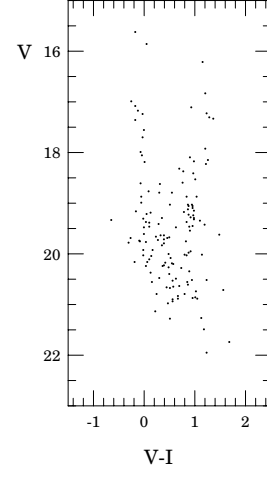
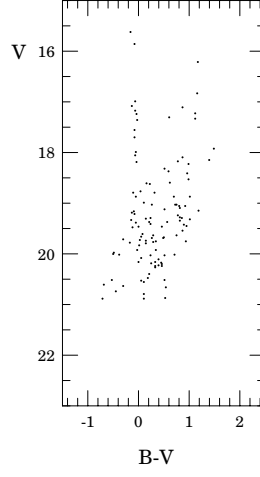
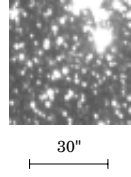
- Bhatia, R.K., and MacGillivray, H.T 1989, *Astron. Astrophys.*, **211**, 9.
- Bhatia, R.K., Read, M.A., Hatzidimitriou, D., and Tritton, S. 1991, *Astron. Astrophys.*, **87**, 335.
- Bica, E., Claria, J.J., and Dottori, H. 1992, *Astron. J.*, **103**, 1859.
- Bica, E., Claria, J.J., Dottori, H., Santos, J.F.C.Jr., and Piatti, A.E. 1996, *Astrophys. J. Suppl. Ser.*, **102**, 57.
- Bica, E., Schmitt, H., Dutra, C., and Oliveira, H. 1999, *Astron. J.*, **117**, 238.
- Hodge, P.W. 1960, *Astrophys. J.*, **131**, 351.
- Hodge, P.W. 1980, *Astron. J.*, **85**, 423.
- Hodge, P.W. 1988, *P.A.S.P.*, **100**, 1051.
- Hodge, P.W., and Wright, F.W. 1967, "The Large Magellanic Cloud" (Smithsonian Institution, Washington, DC).
- Hodge, P.W., and Sexton, J.A. 1966, *Astron. J.*, **71**, 363.
- Kontizas, E., Metaxa, M., and Kontizas, M. 1988, *Astron. J.*, **96**, 1625.
- Kontizas, M., Morgan, D.H., Hatzidimitriou, D., and Kontizas, E. 1990, *Astron. Astrophys.*, **84**, 527.
- Lamberts, A. 1982, "The ESO/Uppsala Survey of the ESO(B) Atlas" (European Southern Observatory, Garching).
- Lynga, G., and Westerlund, B.E 1963, *MNRAS*, **127**, 31.
- Olszewski, E.W., Harris, H.C., Schommer, R.A., and Canterna, R.W. 1988, *Astron. J.*, **95**, 84.
- Paczynski, B. 1986, *Astrophys. J.*, **304**, 1.
- Pietrzyński, G., Udalski, A., Kubiak, M., Szymański, M., Woźniak, P., and Żebruń, K. 1998, *Acta Astron.*, **48**, 175.
- Pietrzyński, G. and Udalski, A. 1999a, *Acta Astron.*, **49**, 157.
- Pietrzyński, G. and Udalski, A. 1999b, *Acta Astron.*, **49**, 165.
- Pietrzyński, G. and Udalski, A. 1999c, *Acta Astron.*, **49**, 149.
- Pietrzyński, G. and Udalski, A. 1999d, *Acta Astron.*, **49**, submitted, astro-ph/9912190.
- Shapley, H. and Mohr, J. 1932, *Harv. Bull.*, **889**, 13.
- Shapley, H., and Lindsay, E.M 1963, *Ir. Astron.*, **6**, 74.
- Udalski, A., Kubiak, M. and Szymański, M. 1997, *Acta Astron.*, **47**, 319.
- Udalski, A., Szymański, M., Kubiak, M., Pietrzyński, G., Woźniak, P., and Żebruń, K. 1998, *Acta Astron.*, **48**, 147.
- Zaritsky, D., Harris, J., and Thompson, I. 1997, *Astron. J.*, **114**, 1002.

## Appendix: Atlas of star clusters in the SMC

OGLE-CL-LMC0316



OGLE-CL-LMC0317



OGLE-CL-LMC0318

